



原子炉 θ_{13} 実験 DoubleChooz の現状

(for young theorists)

末包文彦
(すえかね ふみひこ)
東北大学RCNS

2011.3.10
素粒子物理学の進展2011
@京都大学基礎物理学研究所

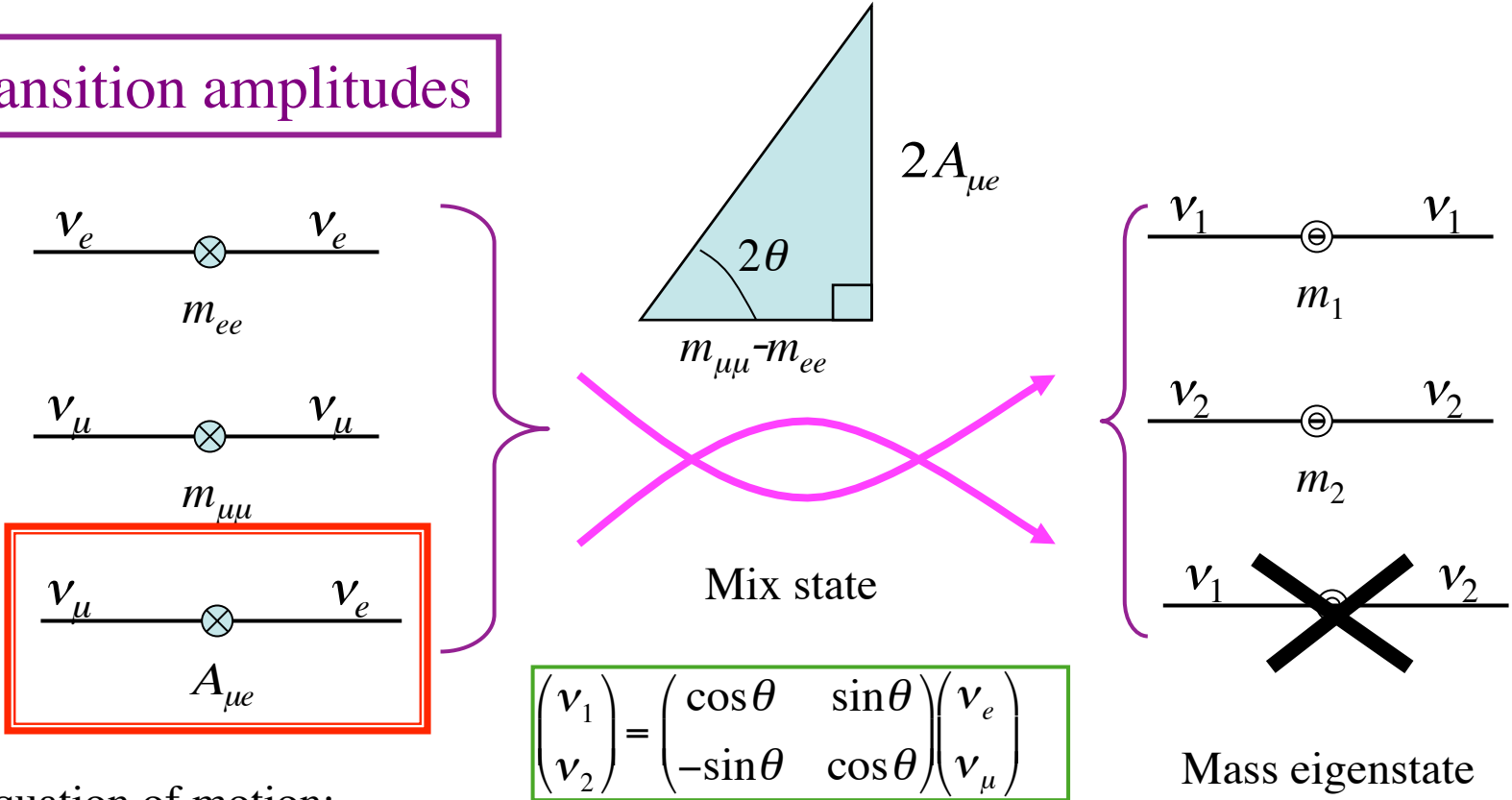
内容

- * ニュートリノ振動
- * 原子炉ニュートリノ振動実験
- * DoubleChooz実験
- * 現在の状況
- * θ_{13} 以降

ν Mixing

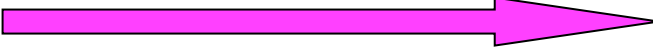
Charged lepton \equiv mass eigenstate, Simplified view.

Transition amplitudes



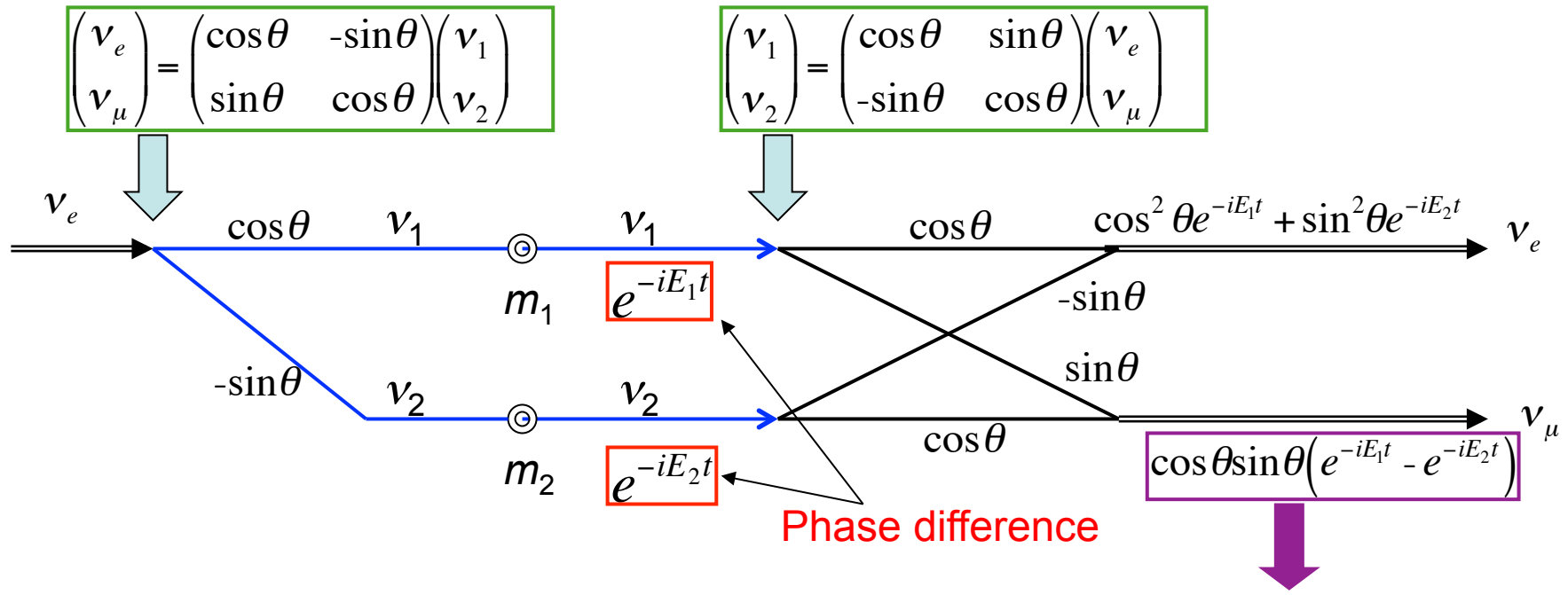
ν equation of motion:

$$\frac{d}{dt} \begin{pmatrix} \nu_e \\ \nu_\mu \end{pmatrix} = -i \begin{pmatrix} m_{ee} & A_{\mu e} \\ A_{\mu e} & m_{\mu\mu} \end{pmatrix} \begin{pmatrix} \nu_e \\ \nu_\mu \end{pmatrix}$$



$$\frac{d}{dt} \begin{pmatrix} \nu_1 \\ \nu_2 \end{pmatrix} = -i \begin{pmatrix} m_1 & 0 \\ 0 & m_2 \end{pmatrix} \begin{pmatrix} \nu_1 \\ \nu_2 \end{pmatrix}$$

ν Oscillation

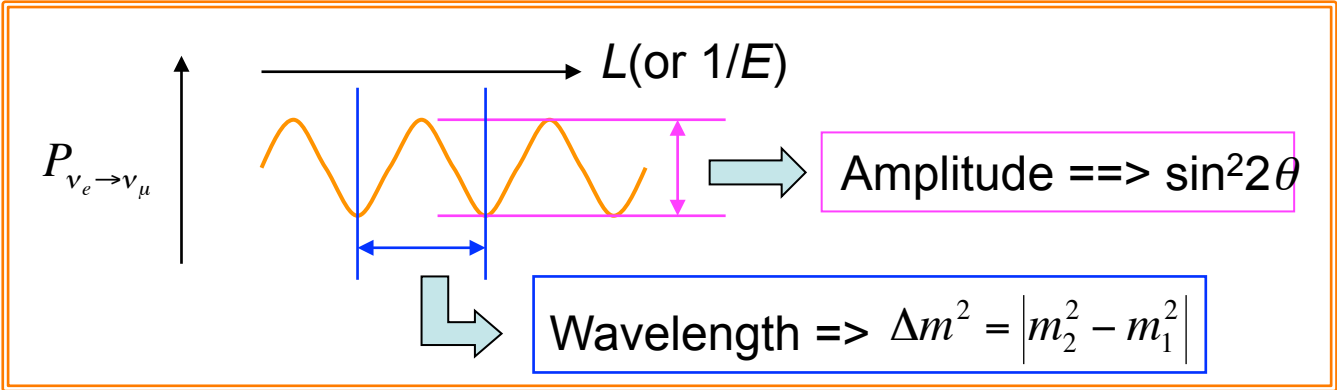


$$P(\nu_e \rightarrow \nu_\mu) \sim \left| \cos\theta \sin\theta (e^{-iE_1 t} - e^{-iE_2 t}) \right|^2 = \sin^2 2\theta \sin^2 \frac{(E_2 - E_1)t}{2}$$

assume $p_1 = p_2 \xrightarrow{m \ll E} \sin^2 2\theta \sin^2 \frac{(m_2^2 - m_1^2)L}{4E}$

What we measure by ν oscillation

$$P_{\nu_e \rightarrow \nu_\mu} = \sin^2 2\theta \sin^2 \frac{\Delta m^2}{4E} L$$



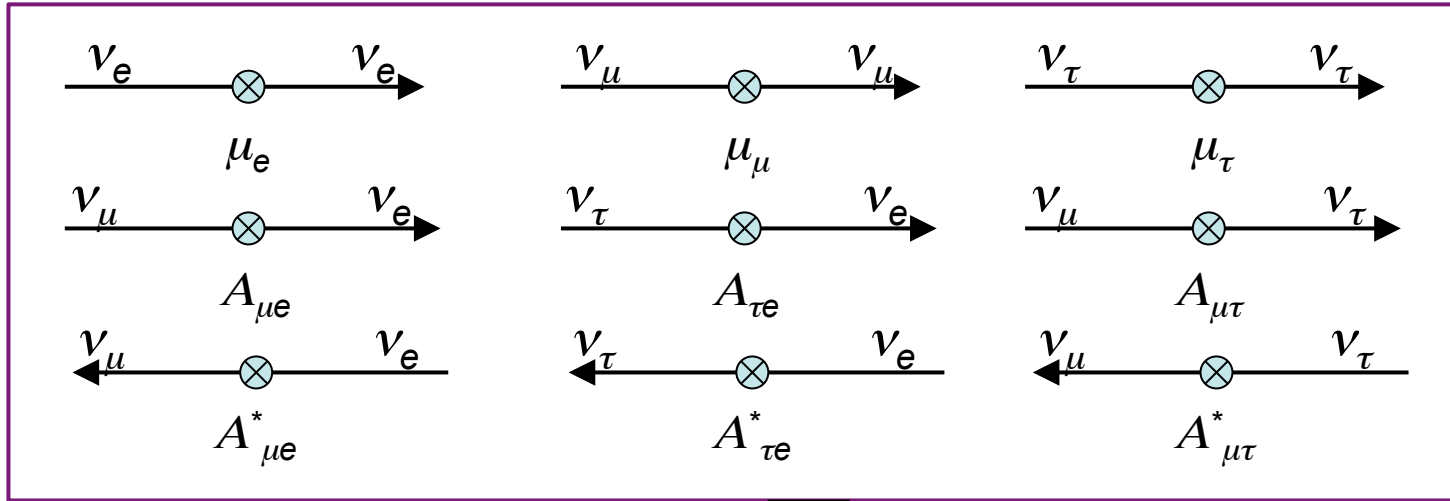
ν_e ν_μ ν_μ	\otimes \otimes \otimes	ν_e ν_μ ν_e		$\left\{ \begin{aligned} \sin 2\theta &= \frac{2A_{\mu e}}{\sqrt{(m_{\mu\mu} - m_{ee})^2 + 4A_{\mu e}^2}}, \\ \Delta m_{12}^2 &= (m_{\mu\mu} + m_{ee}) \sqrt{(m_{\mu\mu} - m_{ee})^2 + 4A_{\mu e}^2} \end{aligned} \right.$	
	m_{ee} $m_{\mu\mu}$ $A_{\mu e}$				

Mass and Mixing are a combination of flavor transition amplitudes.

Measurement of mixing angle is as important as measurement of mass.

3 Flavors Case

Transition amplitudes



3 mixing angles + 1 phase

Mixing

$$\begin{pmatrix} \nu_e \\ \nu_\mu \\ \nu_\tau \end{pmatrix} = \begin{pmatrix} U_{e1} & U_{e2} & U_{e3} \\ U_{\mu1} & U_{\mu2} & U_{\mu3} \\ U_{\tau1} & U_{\tau2} & U_{\tau3} \end{pmatrix} \begin{pmatrix} \nu_1 \\ \nu_2 \\ \nu_3 \end{pmatrix} = \begin{pmatrix} 1 & 0 & 0 \\ 0 & c_{23} & s_{23} \\ 0 & -s_{23} & c_{23} \end{pmatrix} \begin{pmatrix} c_{13} & 0 & s_{13}e^{i\delta} \\ 0 & 1 & 0 \\ -s_{13}e^{-i\delta} & 0 & c_{13} \end{pmatrix} \begin{pmatrix} c_{12} & s_{12} & 0 \\ -s_{12} & c_{12} & 0 \\ 0 & 0 & 1 \end{pmatrix} \begin{pmatrix} \nu_1 \\ \nu_2 \\ \nu_3 \end{pmatrix}$$

2 mass square differences

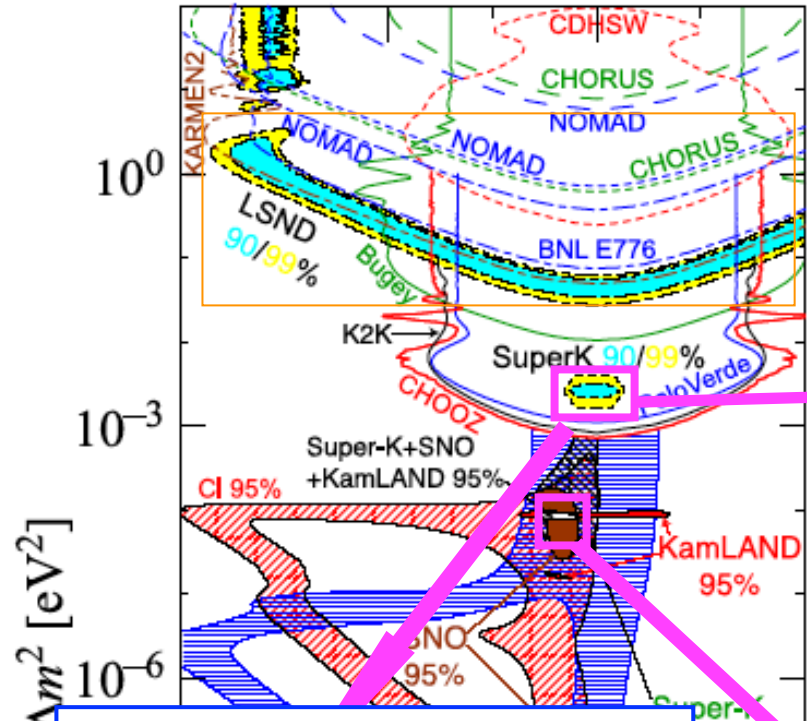
Oscillation formula

$$\begin{aligned}
 P(\nu_\alpha \rightarrow \nu_\beta) &= \delta_{\alpha\beta} - 4 \sum_{i>j} \text{Re}(U_{\alpha i}^* U_{\beta i} U_{\alpha j} U_{\beta j}^*) \sin^2 \Delta_{ij} \mp 2 \sum_{i>j} \text{Im}(U_{\alpha i}^* U_{\beta i} U_{\alpha j} U_{\beta j}^*) \sin 2\Delta_{ij} \\
 P(\bar{\nu}_\alpha \rightarrow \bar{\nu}_\beta) &= \delta_{\alpha\beta} - 4 \sum_{i>j} \text{Re}(U_{\alpha i}^* U_{\beta i} U_{\alpha j} U_{\beta j}^*) \sin^2 \Delta_{ij} \mp 2 \sum_{i>j} \text{Im}(U_{\alpha i}^* U_{\beta i} U_{\alpha j} U_{\beta j}^*) \sin 2\Delta_{ij}
 \end{aligned}$$

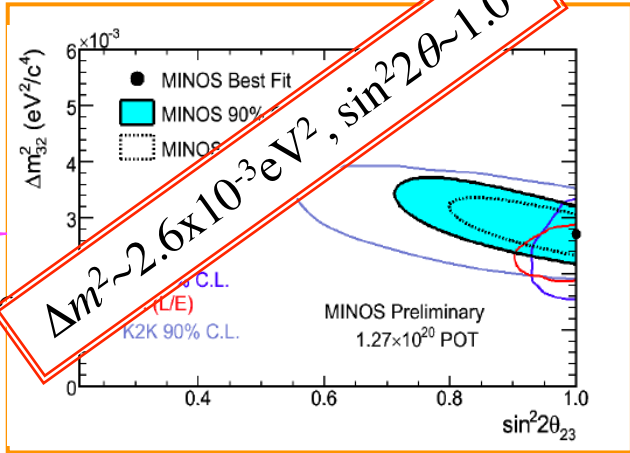
110310

@Kyoto

6



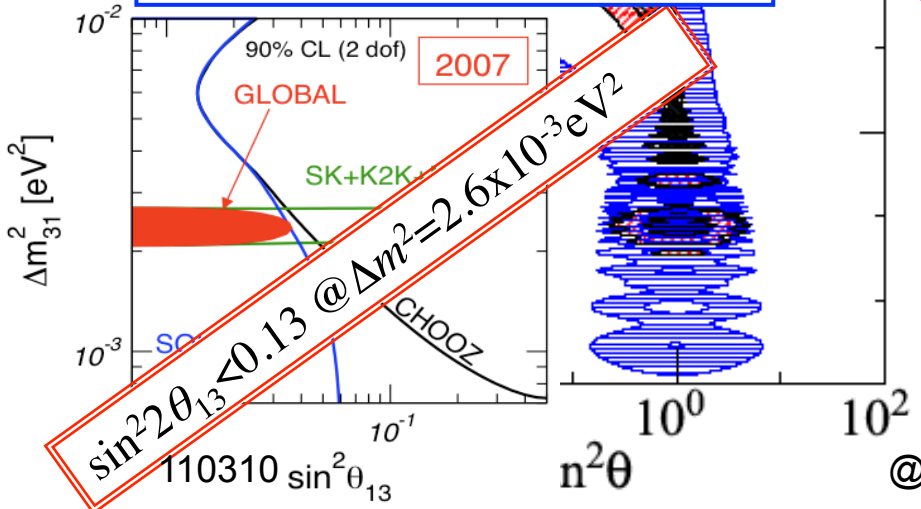
2 oscillations measured



$\Delta m^2 \sim 2.6 \times 10^{-3} \text{ eV}^2, \sin^2 2\theta \sim 1.0$

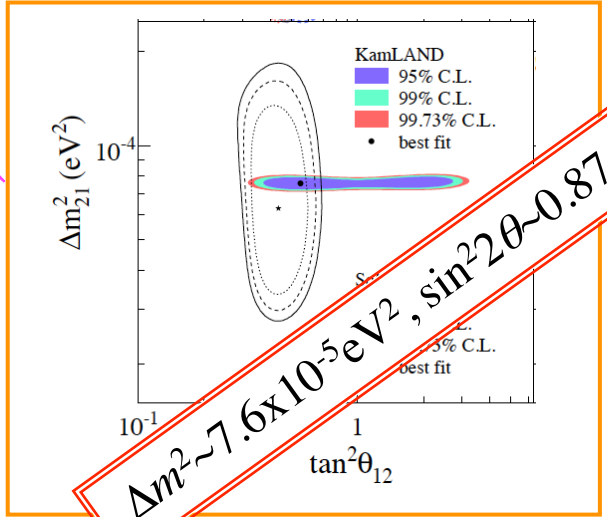
Atmospheric Accelerator

1 upper limit measured



$\sin^2 2\theta_{13} < 0.13 @ \Delta m^2 = 2.6 \times 10^{-3} \text{ eV}^2$

Solar Reactor



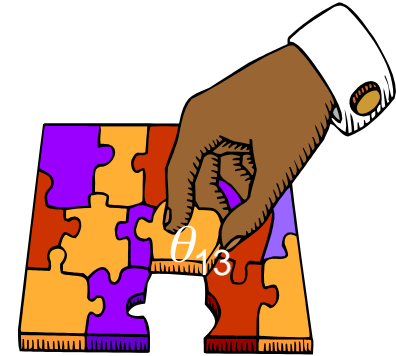
$\Delta m^2 \sim 7.6 \times 10^{-5} \text{ eV}^2, \sin^2 2\theta \sim 0.87$

Our Current Knowledge

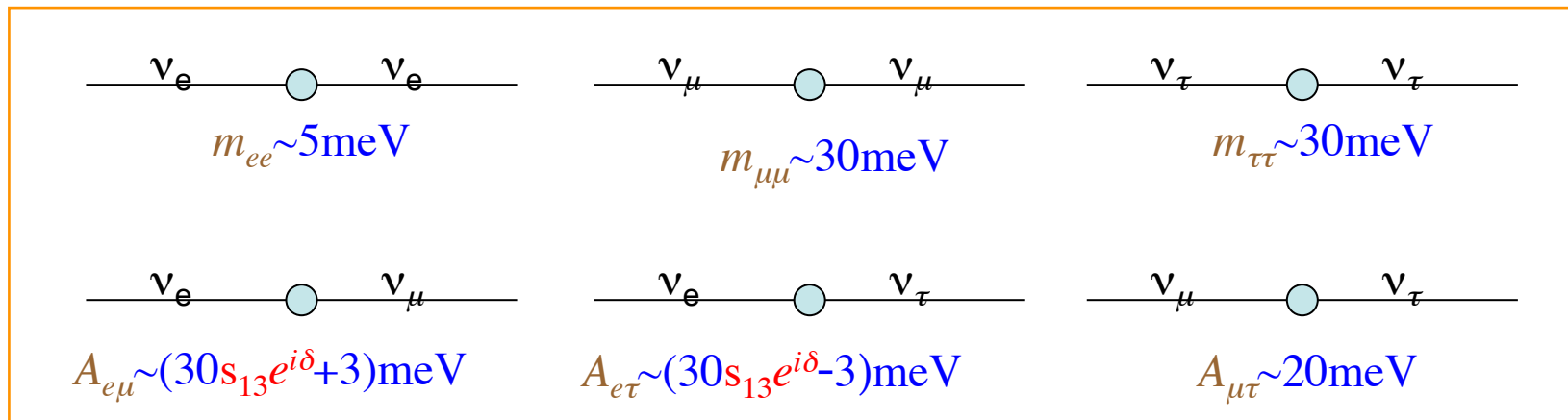
$$|m_3^2 - m_2^2| \sim 2.6 \times 10^{-3} \text{ eV}^2, \quad (m_2^2 - m_1^2) \sim 8 \times 10^{-5} \text{ eV}^2$$

4 parameters were already measured.
 θ_{13} and δ to be measured

$$U_{MNS} \sim \begin{pmatrix} 0.8 & 0.5 & \underline{s_{13} e^{i\delta}} \\ -0.4 & 0.6 & 0.7 \\ 0.4 & -0.6 & 0.7 \end{pmatrix} \quad |s_{13}| < 0.2$$



Transition Amplitudes, if $m_3 > m_2 > m_1 \sim 0$



* Measurement is important to complete the puzzle
 * θ_{13} controls size of imaginary part of $\nu_e \Leftrightarrow \nu_\mu, \nu_\tau$

θ_{13} 測定の重要性

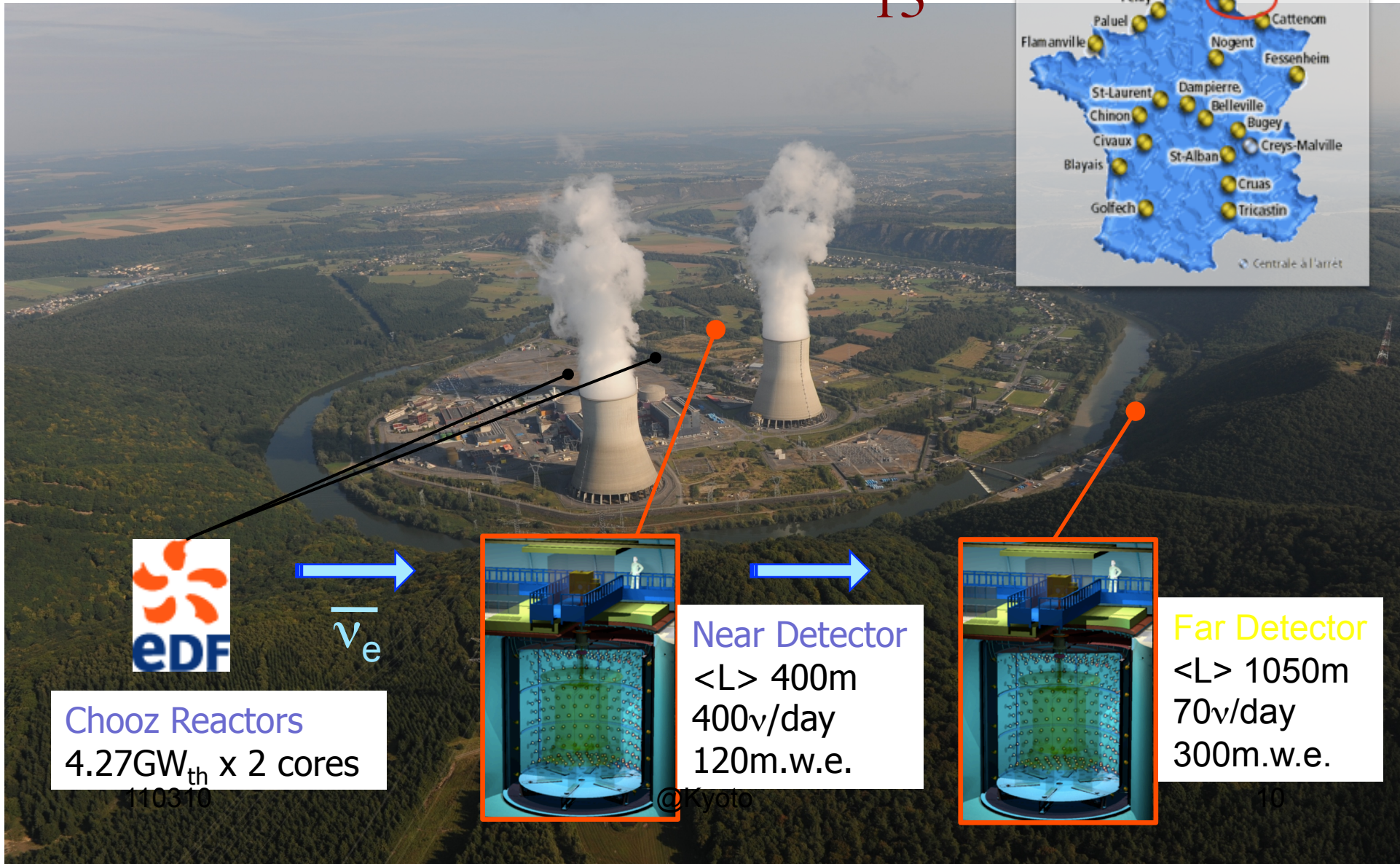
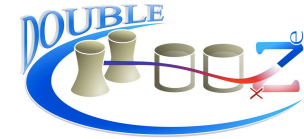
It is one of the fundamental parameters.
 Future ν experiments strongly depends on θ_{13} .

Parameter	Measurement Method
δ_{CP}	$\left[P_A(\nu_\mu \rightarrow \nu_e) - P_A(\bar{\nu}_\mu \rightarrow \bar{\nu}_e) \right]_{@ \Delta_{23}} \sim 0.1 \sin 2\theta_{13} \sin \delta$
θ_{23} degeneracy	$\left[P_A(\nu_\mu \rightarrow \nu_e) + P_A(\bar{\nu}_\mu \rightarrow \bar{\nu}_e) \right]_{@ \Delta_{23}} \sim 2 \sin^2 \theta_{23} \sin^2 2\theta_{13}$
Mass Hierarchy	$\left[P_A(\nu_\mu \rightarrow \nu_e; L) + P_A(\nu_\mu \rightarrow \nu_e; L') \right]_{@ \Delta_{23}} \sim \text{sign}(\Delta m_{23}^2)(L' - L) \sin^2 2\theta_{13}$ $P_R(\bar{\nu}_e \rightarrow \bar{\nu}_e)_{@ \Delta_{12}} \sim 1 - 0.5 \sin^2 2\theta_{13} (\sin^2 \Delta_{31} + \tan^2 \theta_{12} \sin^2 \Delta_{32})$

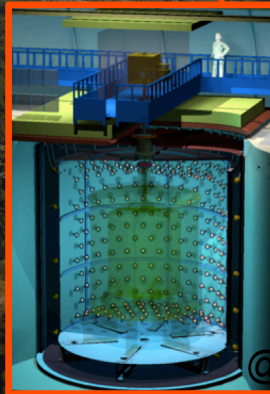
θ_{13} の値が分からないと先に進めない

Double Chooz experiment

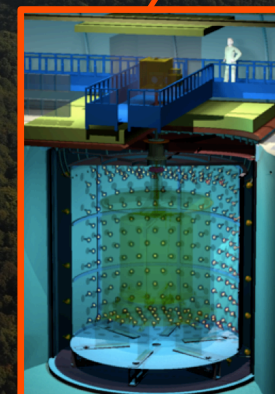
To measure Pure θ_{13}



Chooz Reactors
4.27GW_{th} x 2 cores



Near Detector
<L> 400m
400ν/day
120m.w.e.



Far Detector
<L> 1050m
70ν/day
300m.w.e.

Double Chooz collaboration



Brazil

CBPF
UNICAMP
UFABC



France

CEA/DSM/IRFU:
SPP
SPhN
SEDI
SIS
SENAC
CNRS/IN2P3:
APC
Subatech
IPHC
ULB



Germany

EKU Tübingen
MPIK Heidelber
TU München
U. Aachen
U. Hamburg



Japan

Tohoku U.
Tokyo Inst. Tech.
Tokyo Metro. U.
Niigata U.
Kobe U.
Tohoku Gakuin U.
Hiroshima Inst
Tech.



Russia

INR RAS
IPC RAS
RRC Kurchatov



Spain

CIEMAT-Madrid



UK

Sussex



USA

U. Alabama
ANL
U. Chicago
Columbia U.
UCDavis
Drexel U.
IIT
KSU
LLNL
MIT
U. Notre Dame
Sandia National
Laboratories
U. Tennessee

Spokesperson: H. de Kerret (IN2P3)
Project Manager: Ch. Veyssière (CEA-Saclay)

Web Site: www.doublechooz.org/

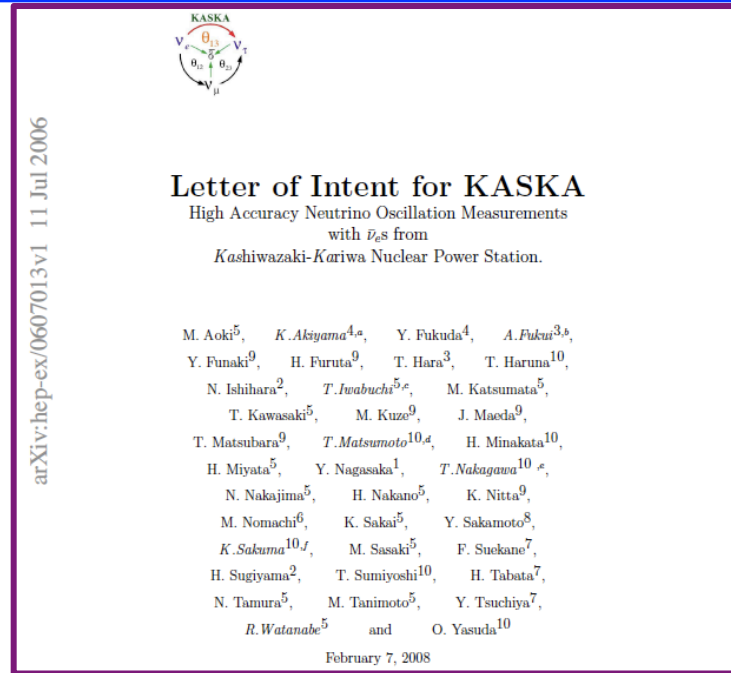
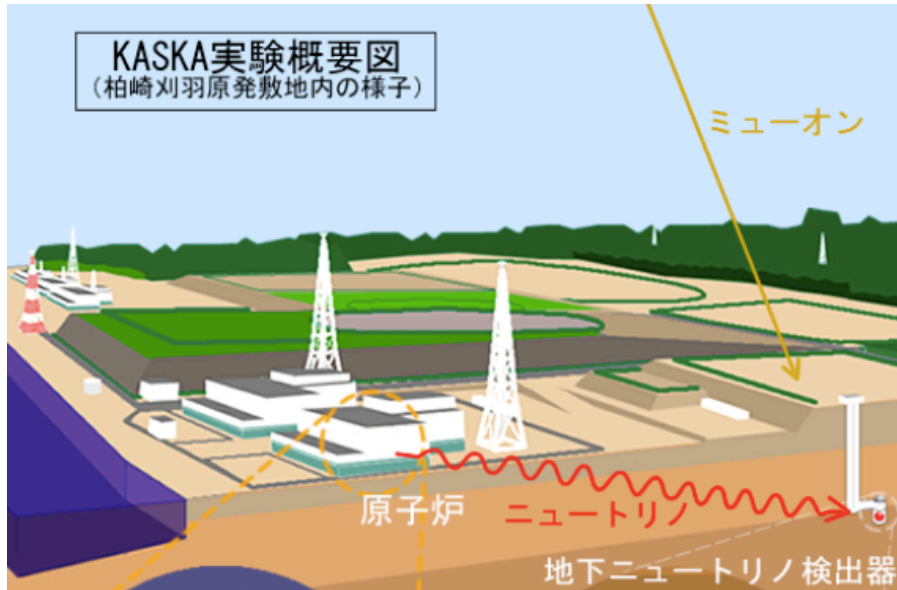


110310

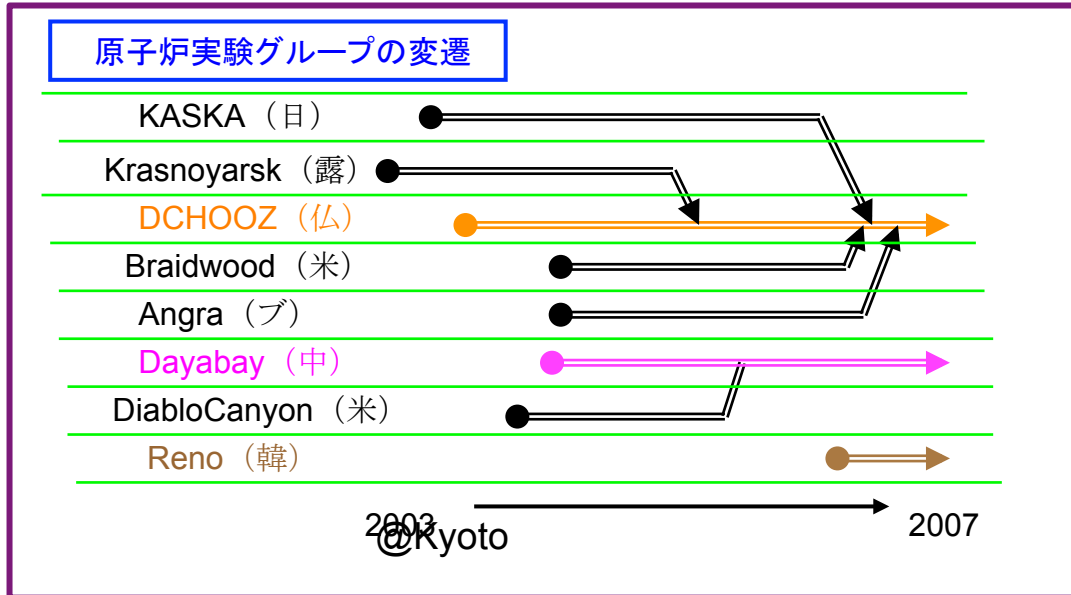
@Kyoto

11

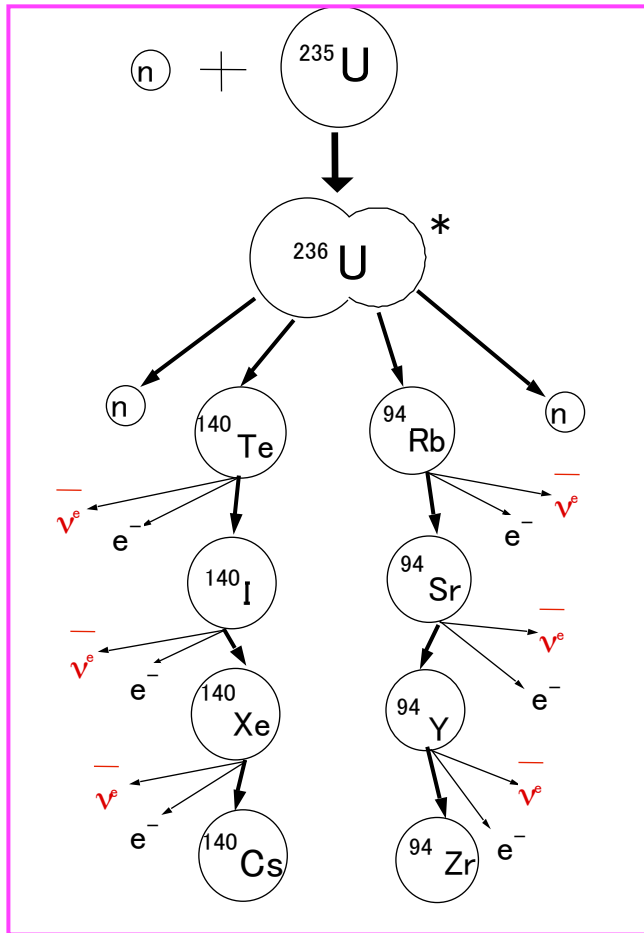
我々も柏崎刈羽原発(世界最強)でKASKA実験を提案した. (2003~)



が, 2007年
DCに参加する
ことになった.



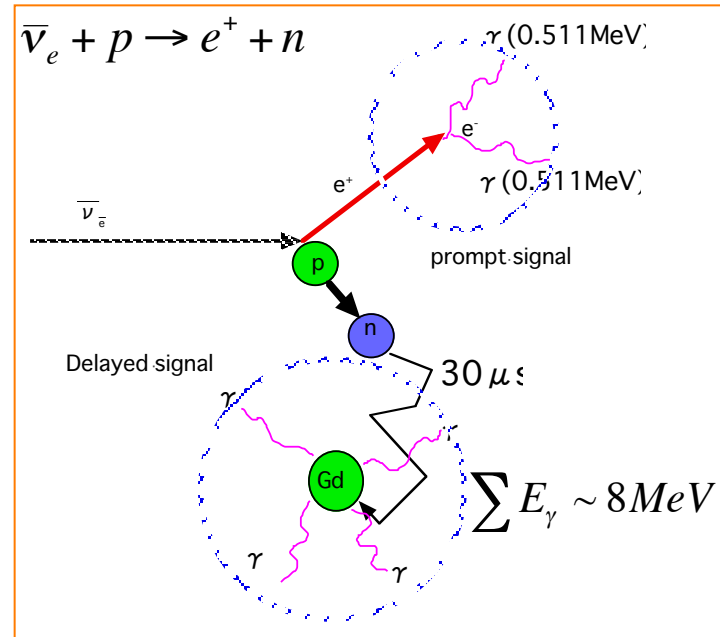
Reactor neutrino & Its detection



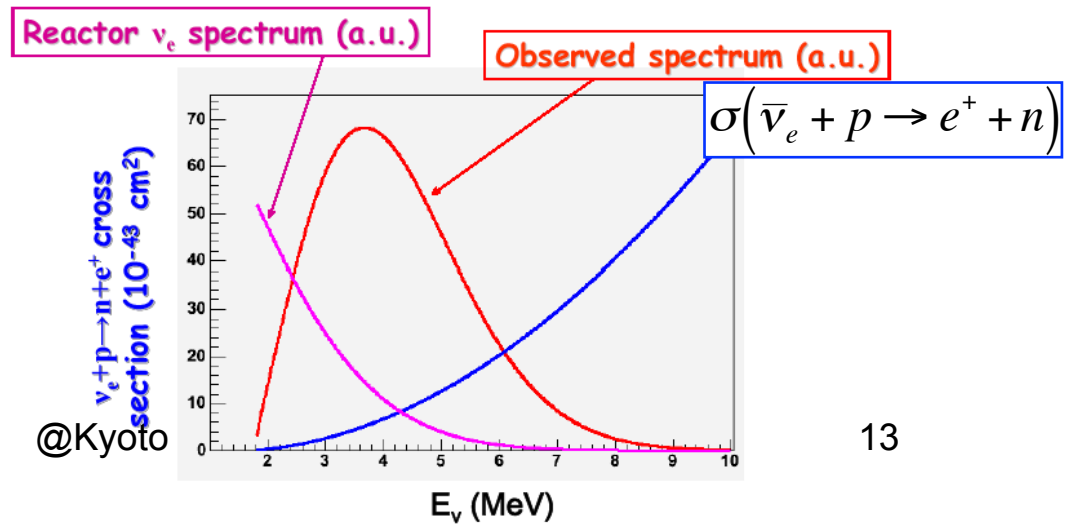
$\bar{\nu}$ are produced in β -decays of fission products.

$$\sim 6 \times 10^{20} \bar{\nu}_e / s / \text{reactor}$$

110310

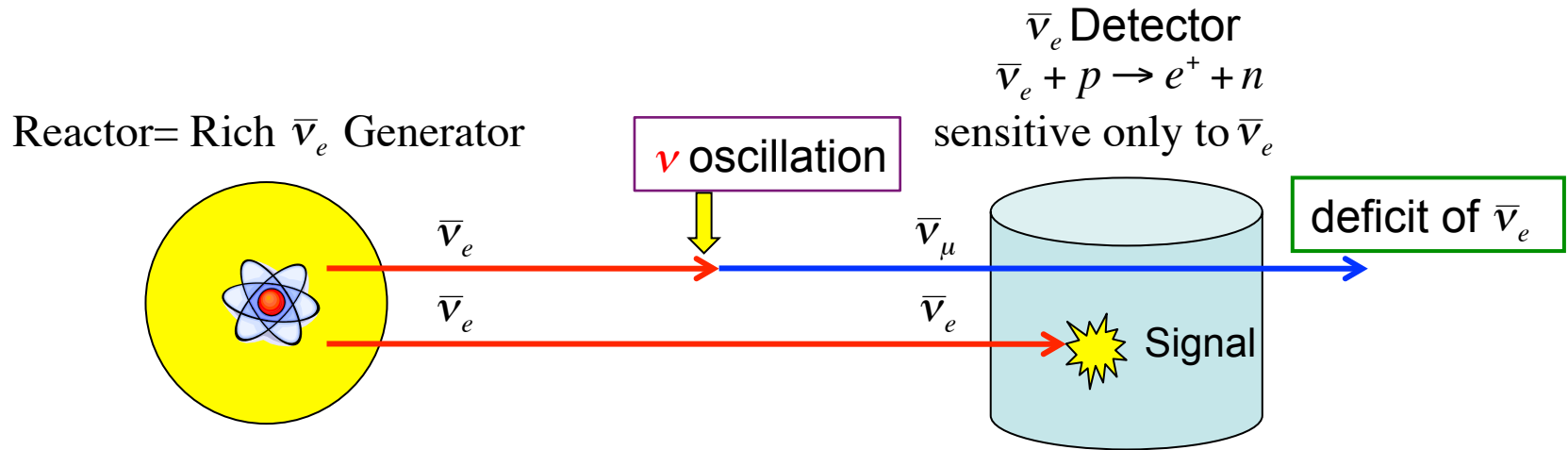


The $\bar{\nu}_e$ energy spectrum



@Kyoto

How to measure θ_{13} by reactor neutrinos

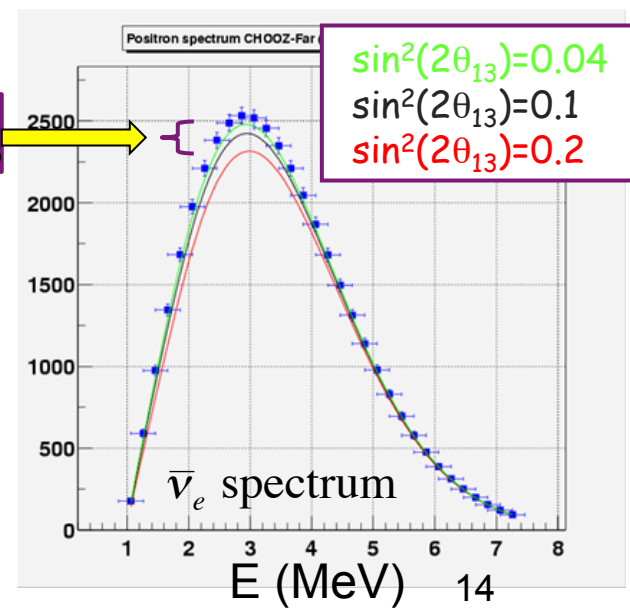


$1.5 \times 10^{21} \nu/s$
 @Chooz reactors

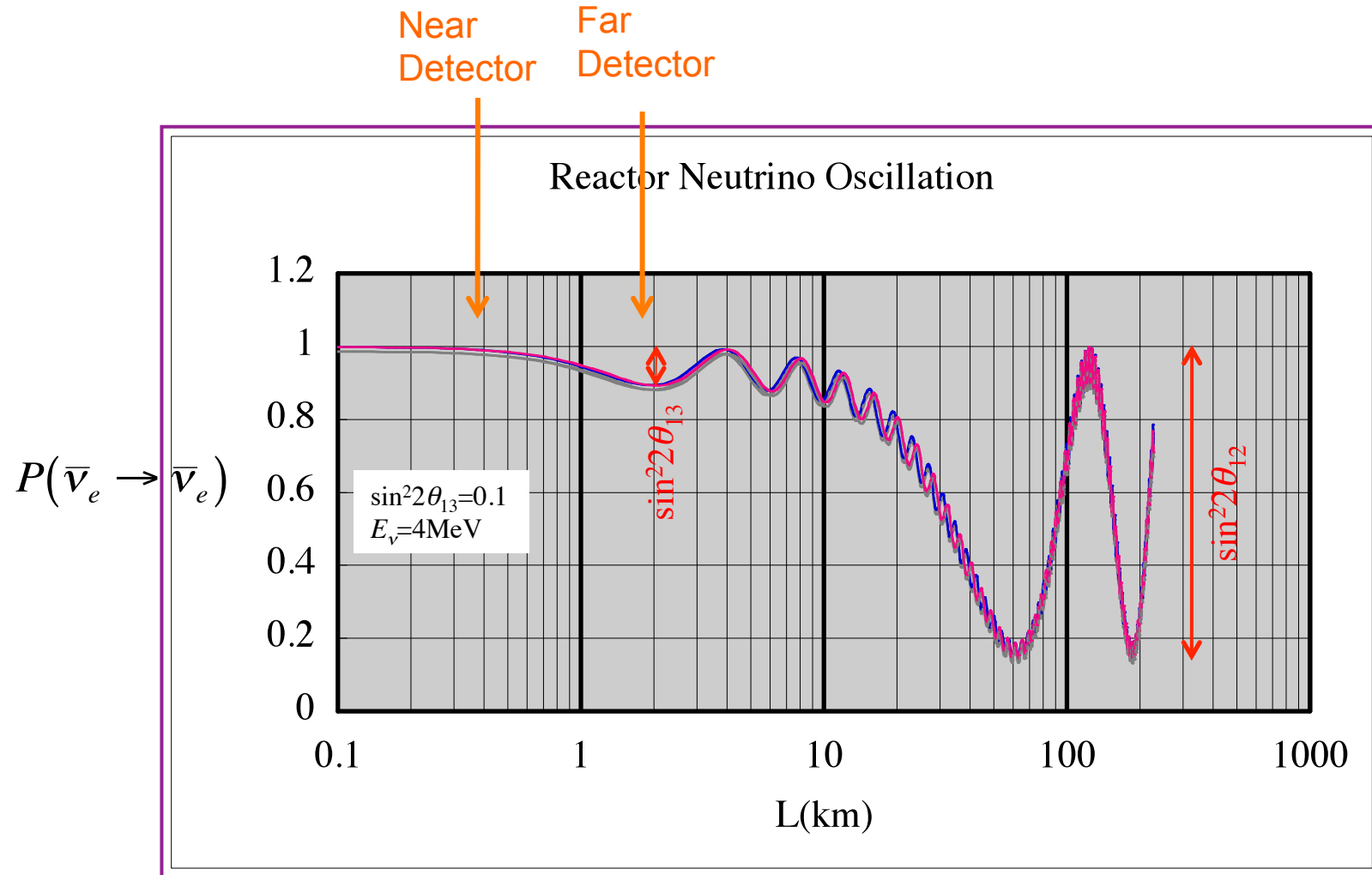
Deficit of $\bar{\nu}_e \propto \sin^2 2\theta_{13}$

$$P(\bar{\nu}_e \rightarrow \bar{\nu}_e) = 1 - \sin^2 2\theta_{13}$$

The probability for $\bar{\nu}_e$ to remain $\bar{\nu}_e$



How to measure θ_{13} and to improve precision: 2 detector scheme



Statistic and systematic errors

		CHOOZ	Double Chooz
Reactor (neutrino flux)	Production x-sec	1.9%	-
	Reactor power	0.7%	-
	Energy per fission	0.6%	-
	Solid angle	-	0.1%
Detector	Detection x-sec	0.3%	-
	Target mass	0.3%	0.2%
	Fiducial volume	0.2%	-
	H/C ratio	0.8%	-
	Dead time	0.25%	-
Analysis	Selection efficiency	1.4%	0.4%
Total systematic error		2.7%	<0.5%
Statistical error		2.8%	<0.5%

G. Mention et al., arXiv:0704.0498 [hep-ex]

Main Components of DC Detector

Target ν :
10m³ Gd loaded Liquid Scintillator
8mm Acrylic Tank

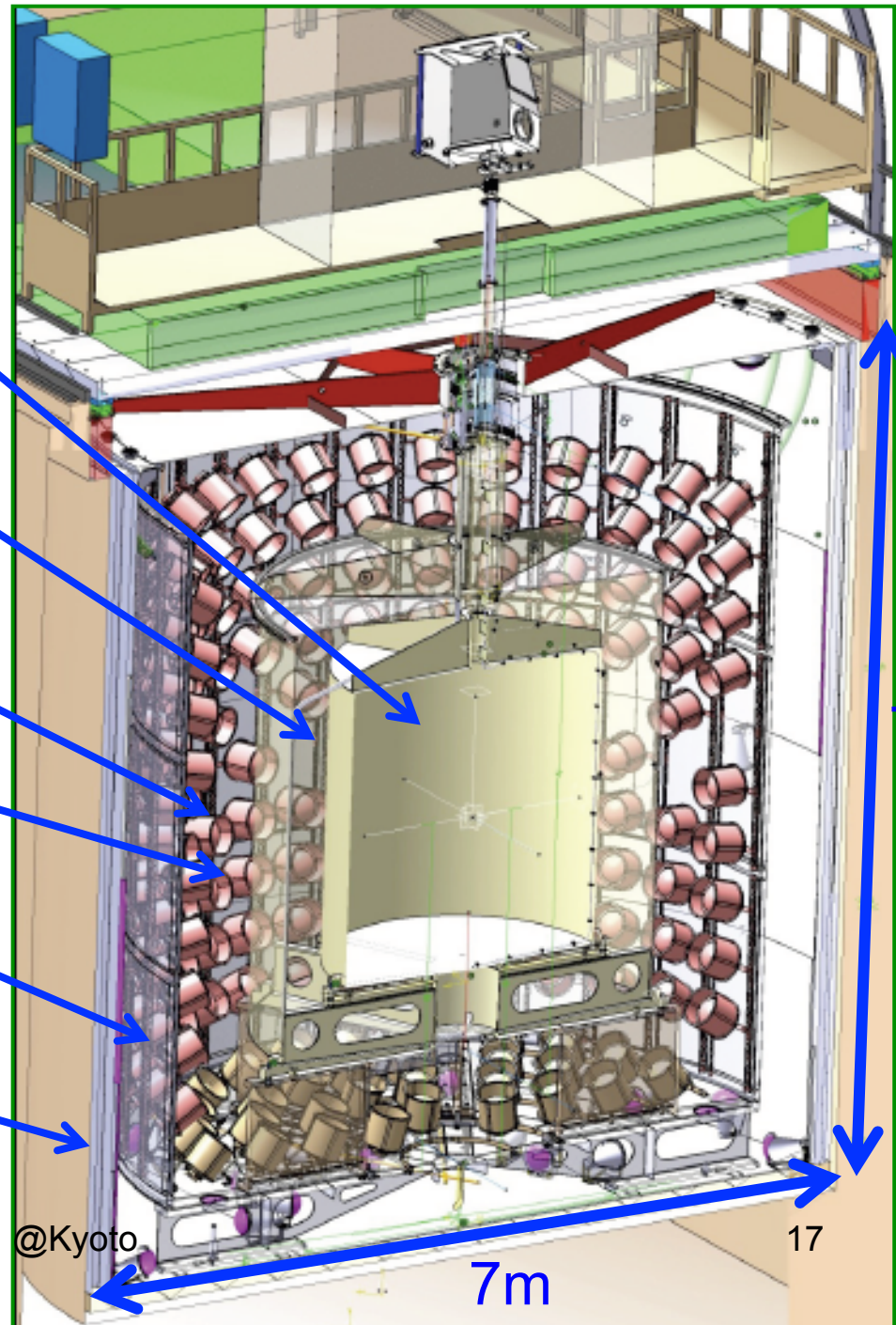
γ Catcher :
22m³ Liquid Scintillator
12mm Acrylic Tank

Light Detection:
390 Low BKG 10" PMTs

Buffer oil :
110m³ Paraffine Oil
3mm Stainless Steel Tank

Inner Muon Veto :
90m³ LS + 78 8" PMTs

Iron shield:
15cm



110310

@Kyoto

17

DC-Japan



**東北大，首都大，東工大，新潟大，
神戸大，東北学院大，広島工大**

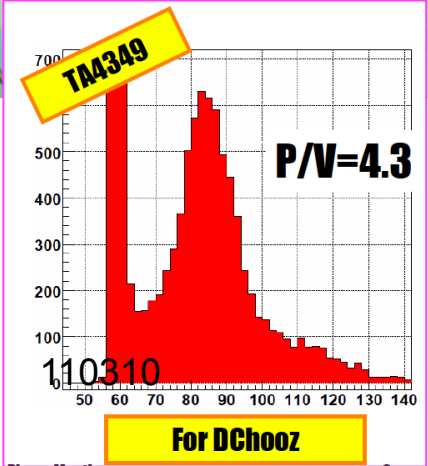
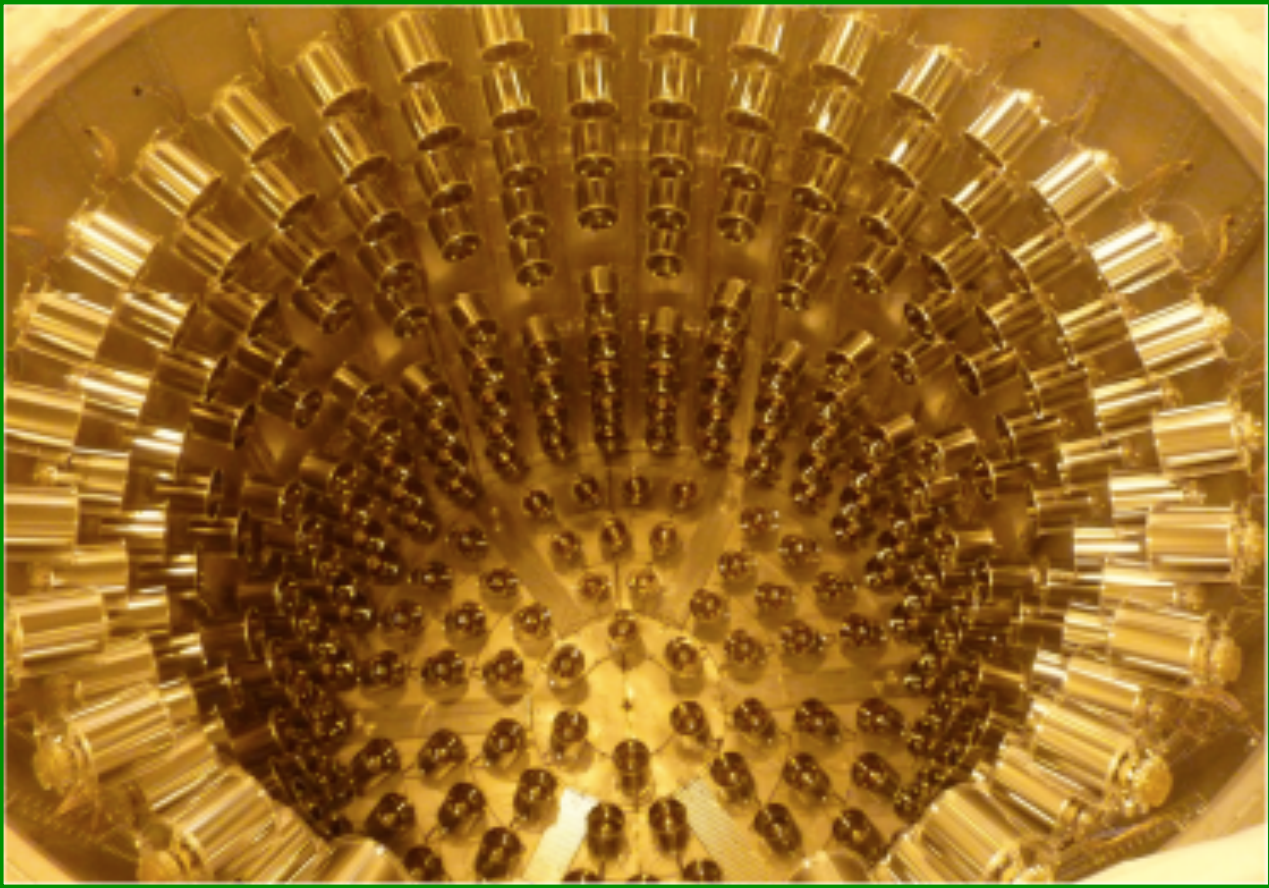
光電子増倍管システム，高電圧システム
DAQ/monitorシステム，LEDキャリブレーションシステム
コミッショニングなど担当

110310

@Kyoto

日本グループ担当

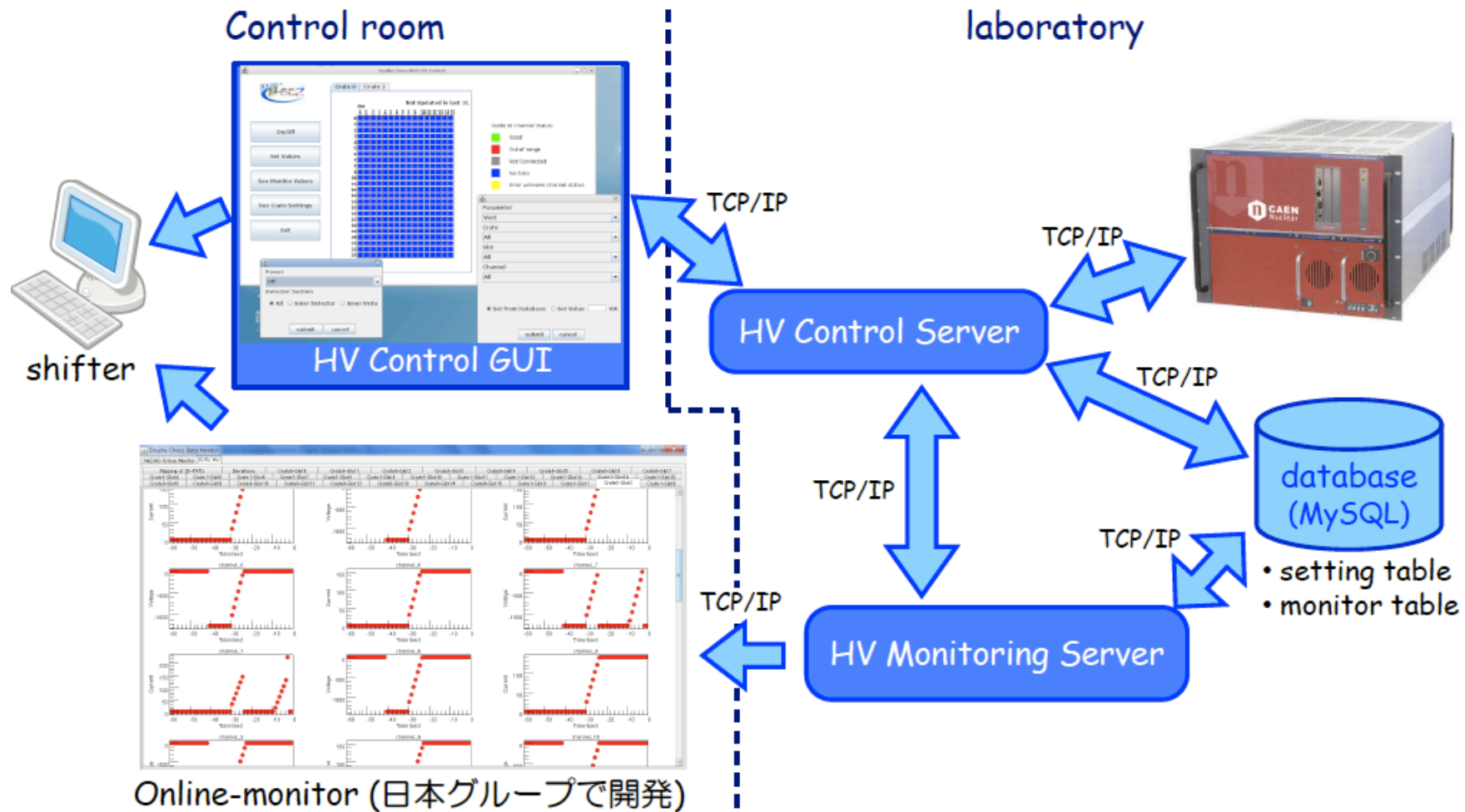
Large & Low back ground PMTs



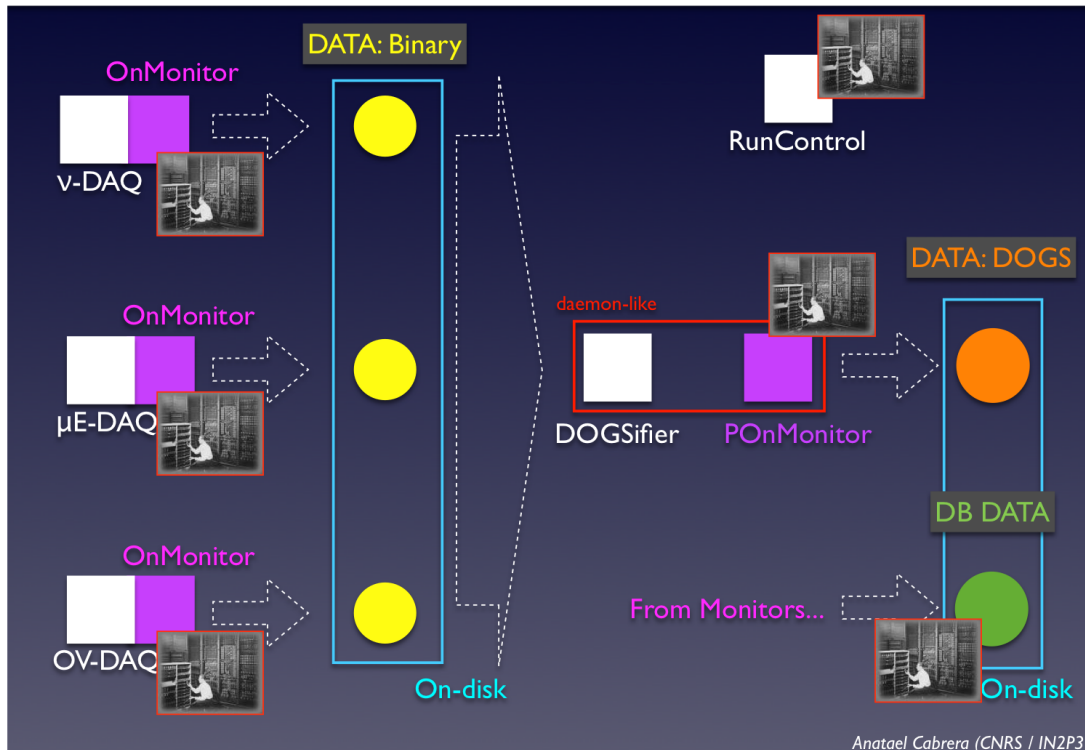
1pe peak @Kyoto

日本グループ担当 高電圧装置 system

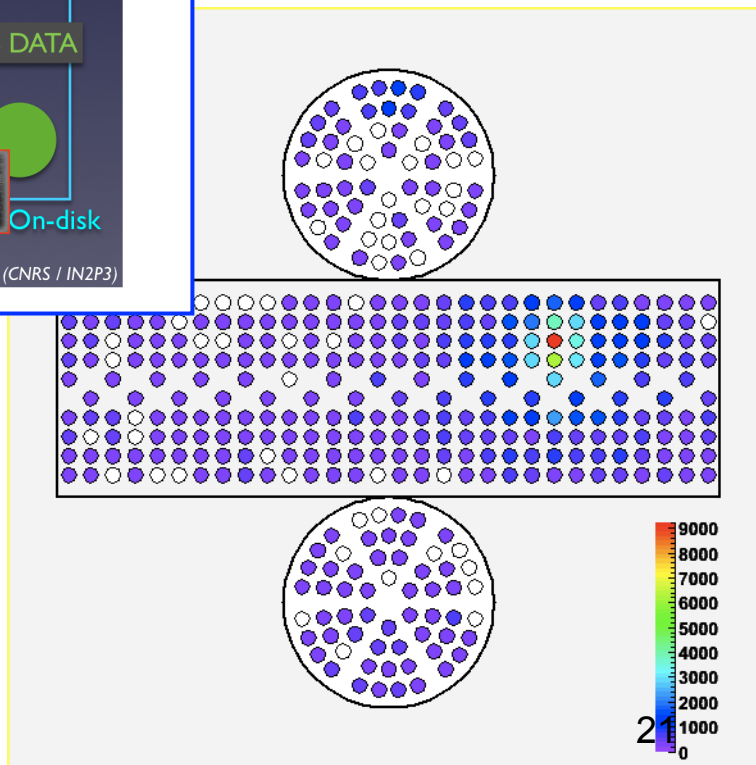
- 二つのserver process (controlとmonitoring)とGUIで構成
- 各間の通信はソケットによるTCP通信で行う



Online: data-wise

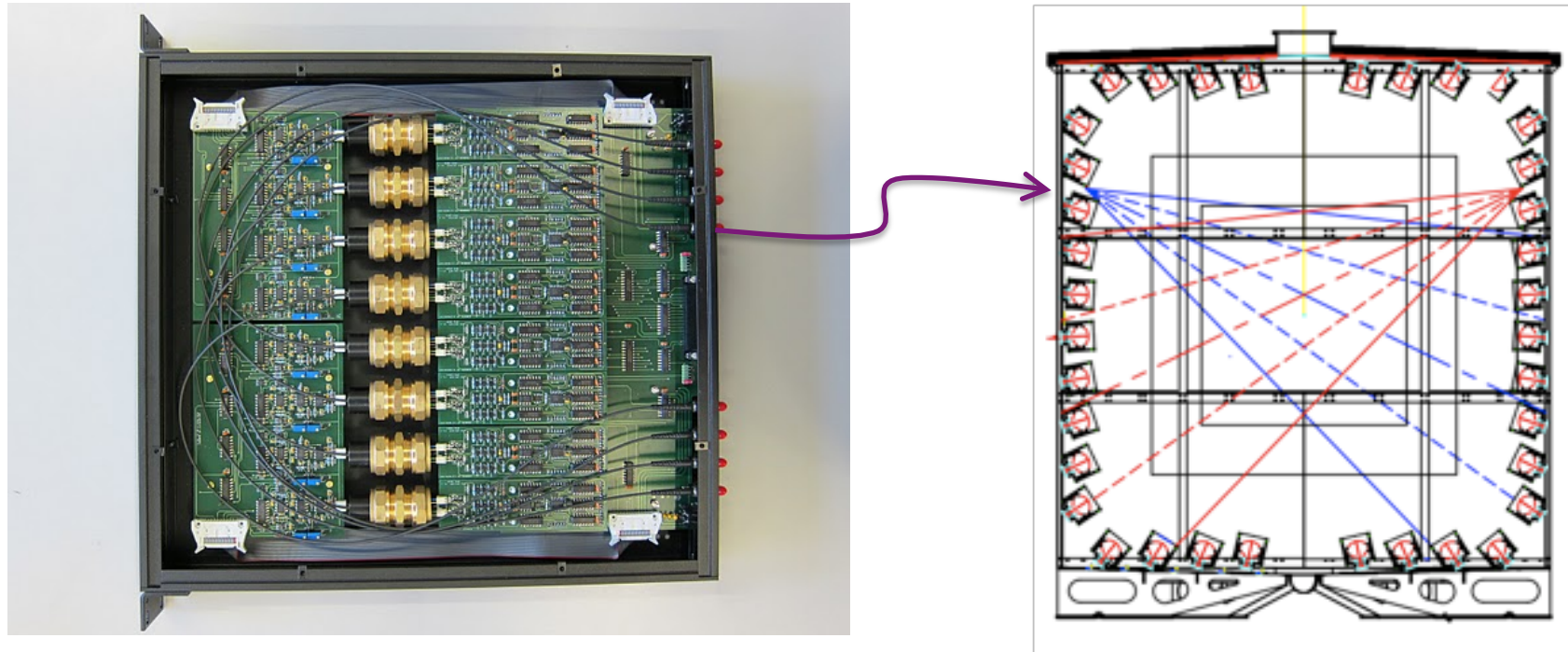


Event display



DAQ & online monitor
日仏で開発

ライトインジェクションキャリブレーションシステム



- LED光源からの光をファイバーを通して検出器内に入れ、拡散板を通して照射する。
- 日本グループが中心となって運用し、光電子増倍管、液体シンチレータの透過率のキャリブレーションなどを行う(装置の開発はイギリスのサセックス大学)。
- 検出器内部に設置されているため常時運用が可能であり、検出器の安定性の測定にも有用である。

DC 検出器建設



110310

@Kyoto

23

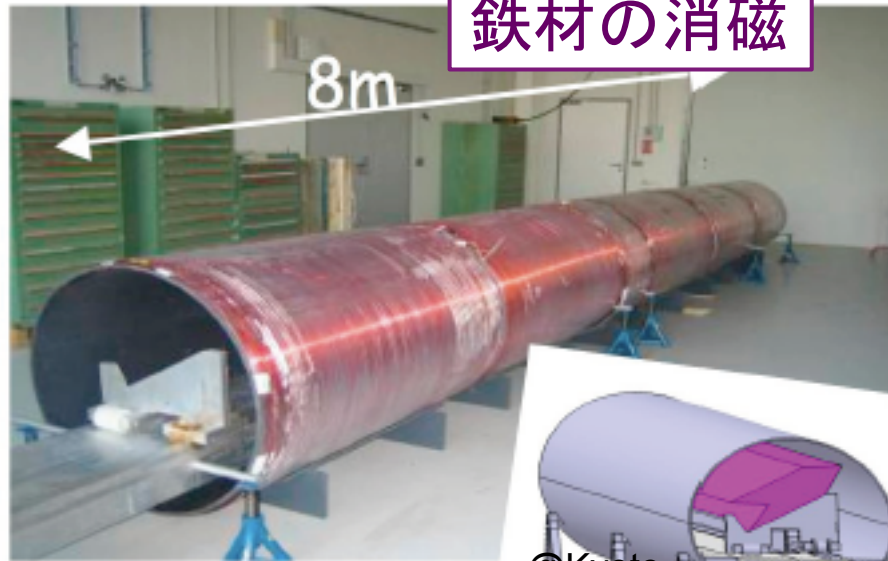


鉄シールド設置

fall 2008



end of 2008



鉄材の消磁

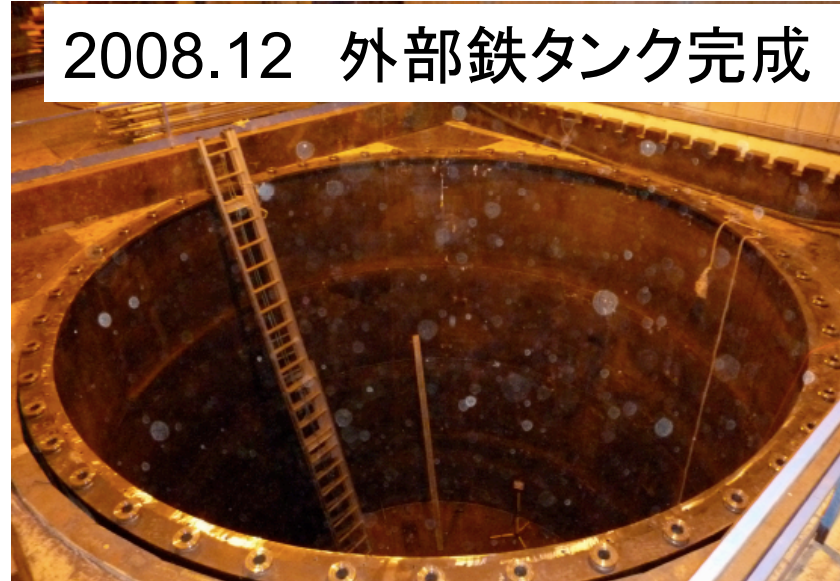
110310

@Kyoto

2008.11 外部鉄タンク設置



2008.12 外部鉄タンク完成



2009.2 Inner Veto PMT 設置

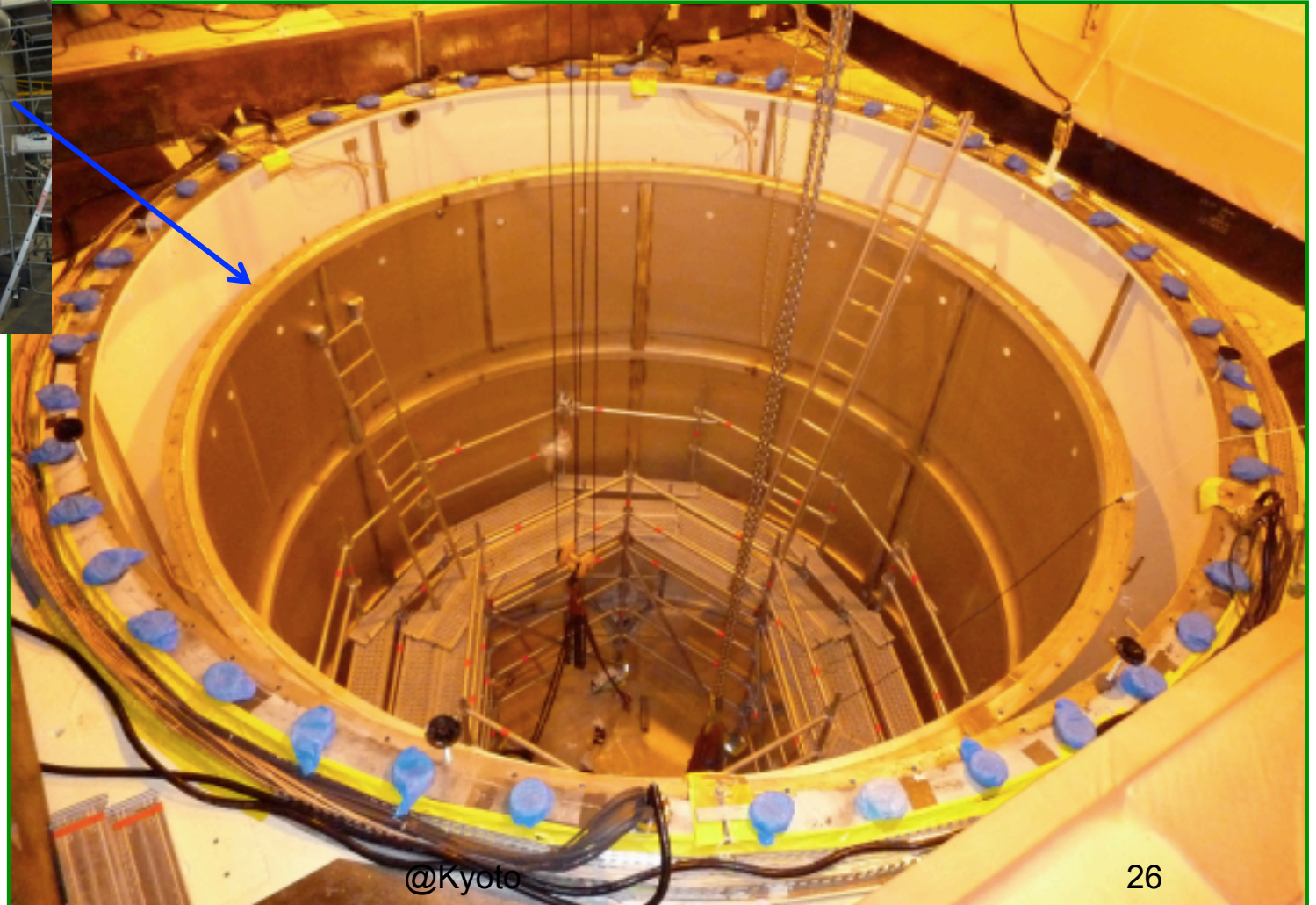


110310

@Kyoto

25

2009.4 ステンレス内部タンク設置



110310

@Kyoto

26

2009.5~7 PMT installation work

Japan team



110310



@Kyoto

27

PMT ケーブル敷設作業

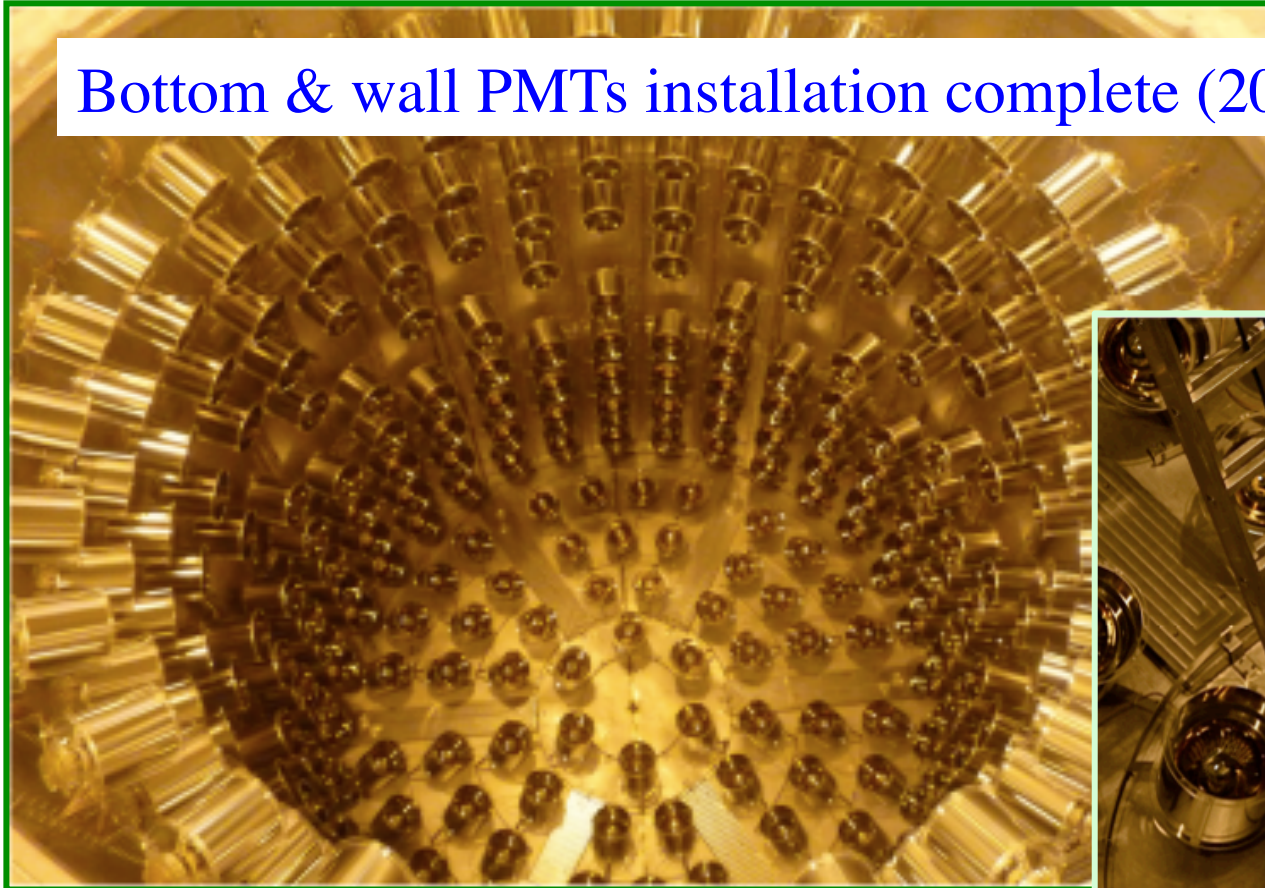


110310

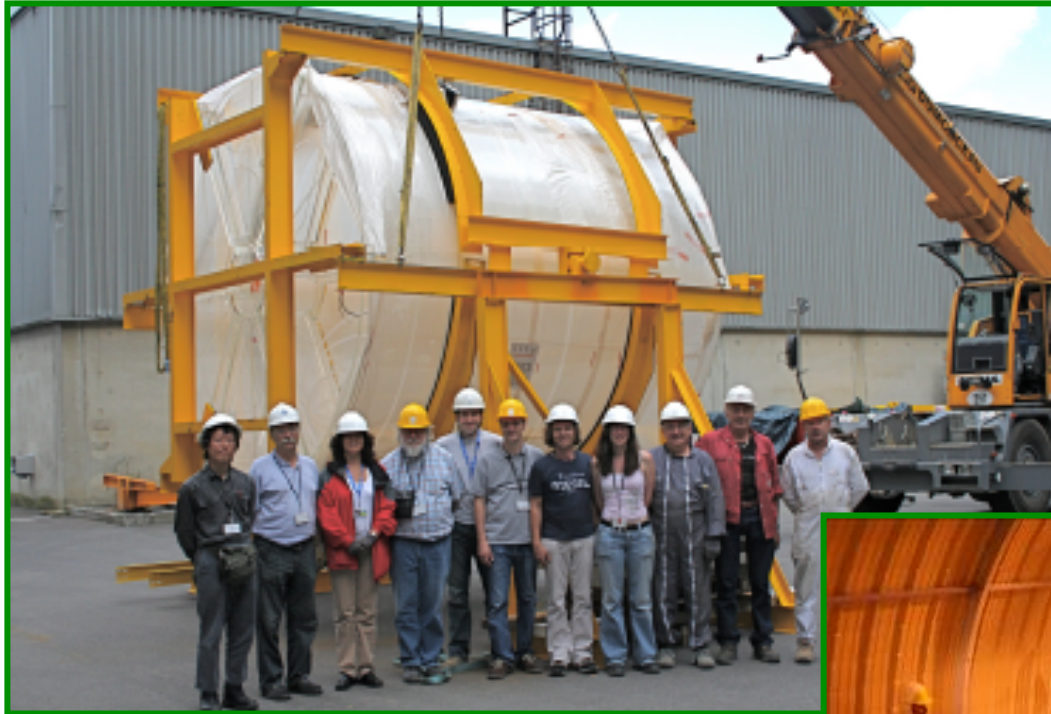
@Kyoto

28

Bottom & wall PMTs installation complete (2009.07)



French team



Acrylic tank installation
(8~9/2009)



110310

@Kyoto

30

2009.10 アクリルタンク設置完了

ν target tank

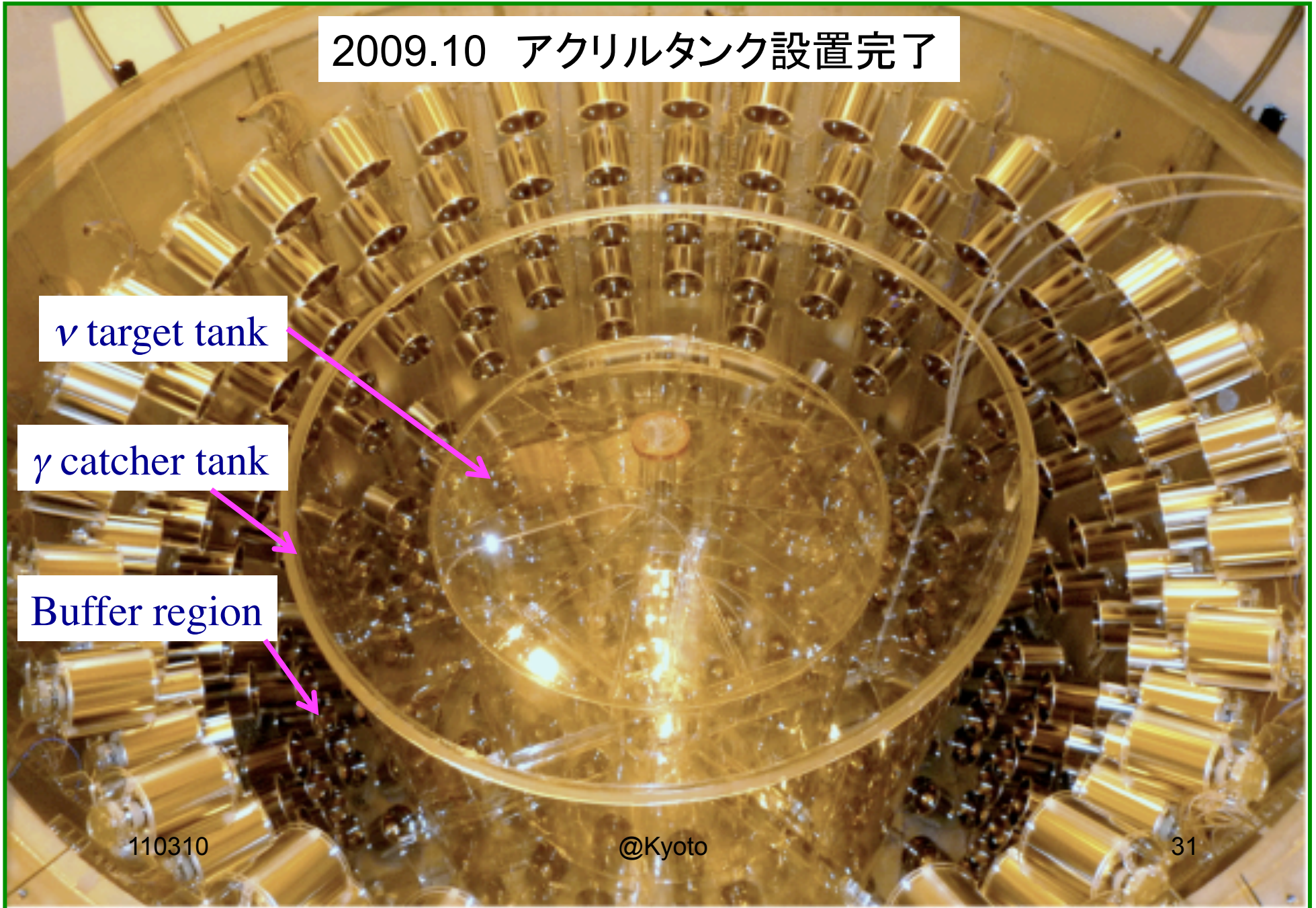
γ catcher tank

Buffer region

110310

@Kyoto

31





110310

@Kyoto

22

2010.12 Then top lid & its PMTs were installed



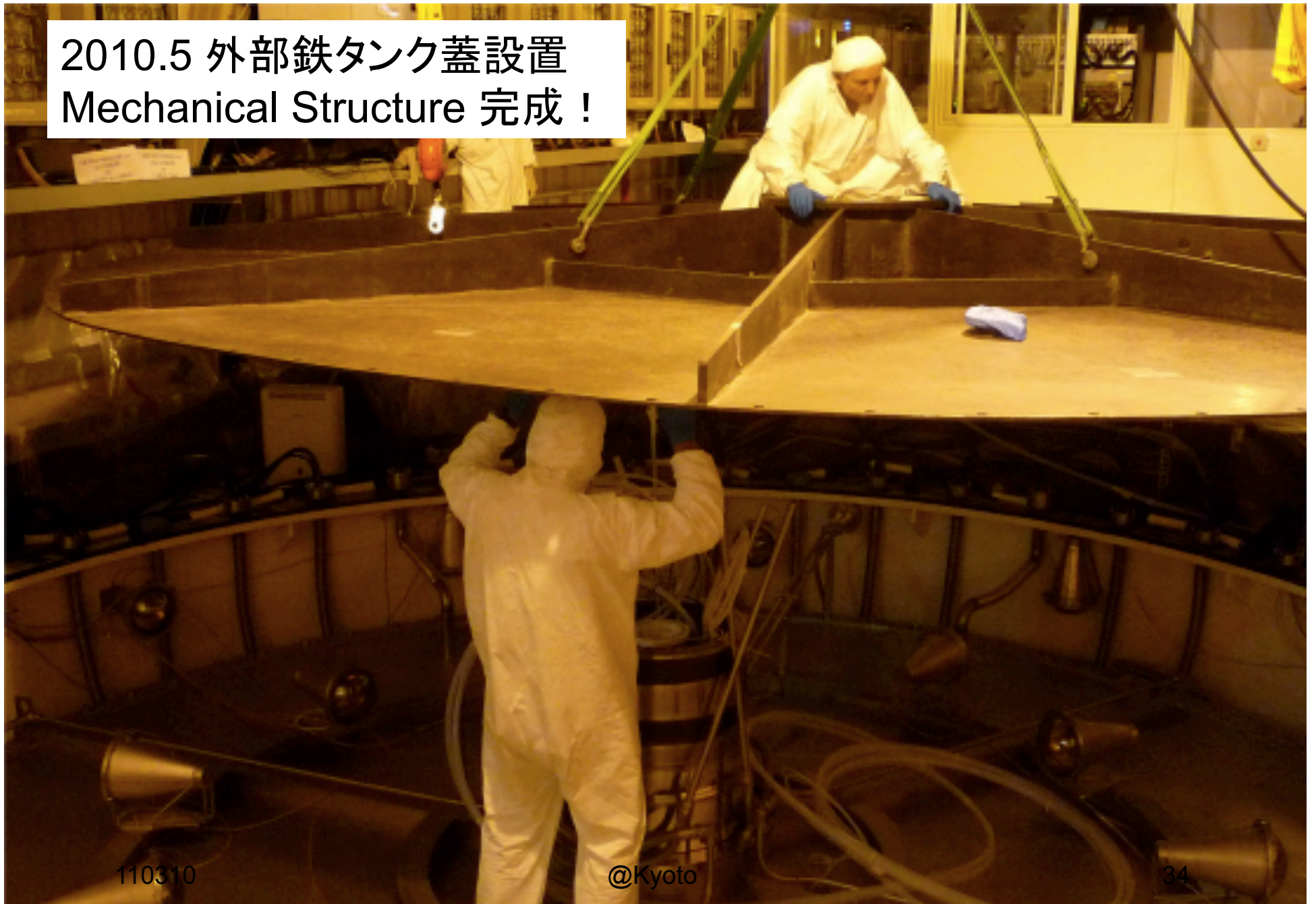
2009.12 ステンレスタンク蓋設置

110310

@Kyoto

33

2010.5 外部鉄タンク蓋設置
Mechanical Structure 完成！



110310

@Kyoto

34

2009.8~ 液体シンチレーター類タンク設置



110310

@Kyoto

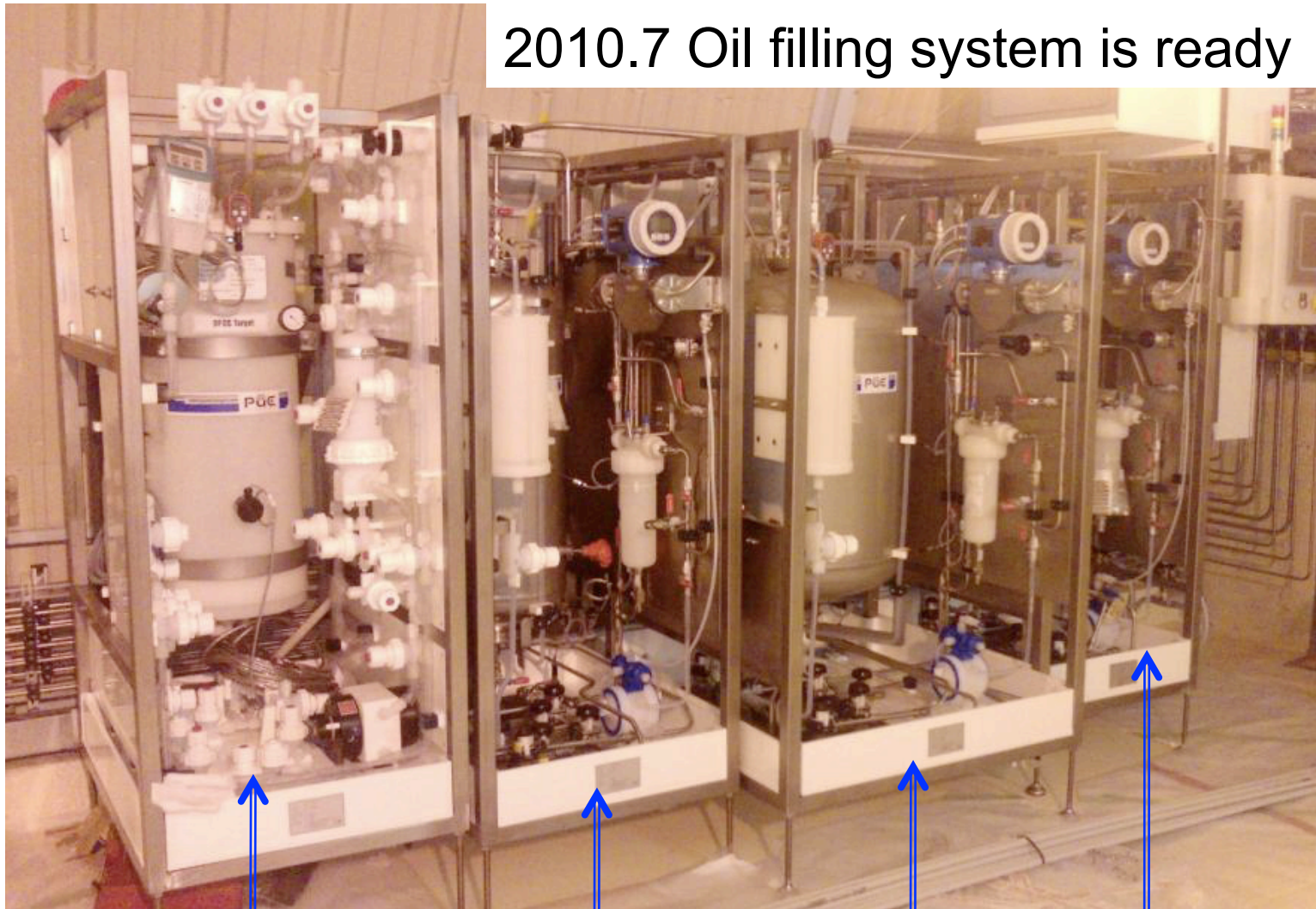
35



2010.4~ オイル到着

All the liquids have been formulated by German group

2010.7 Oil filling system is ready



110310

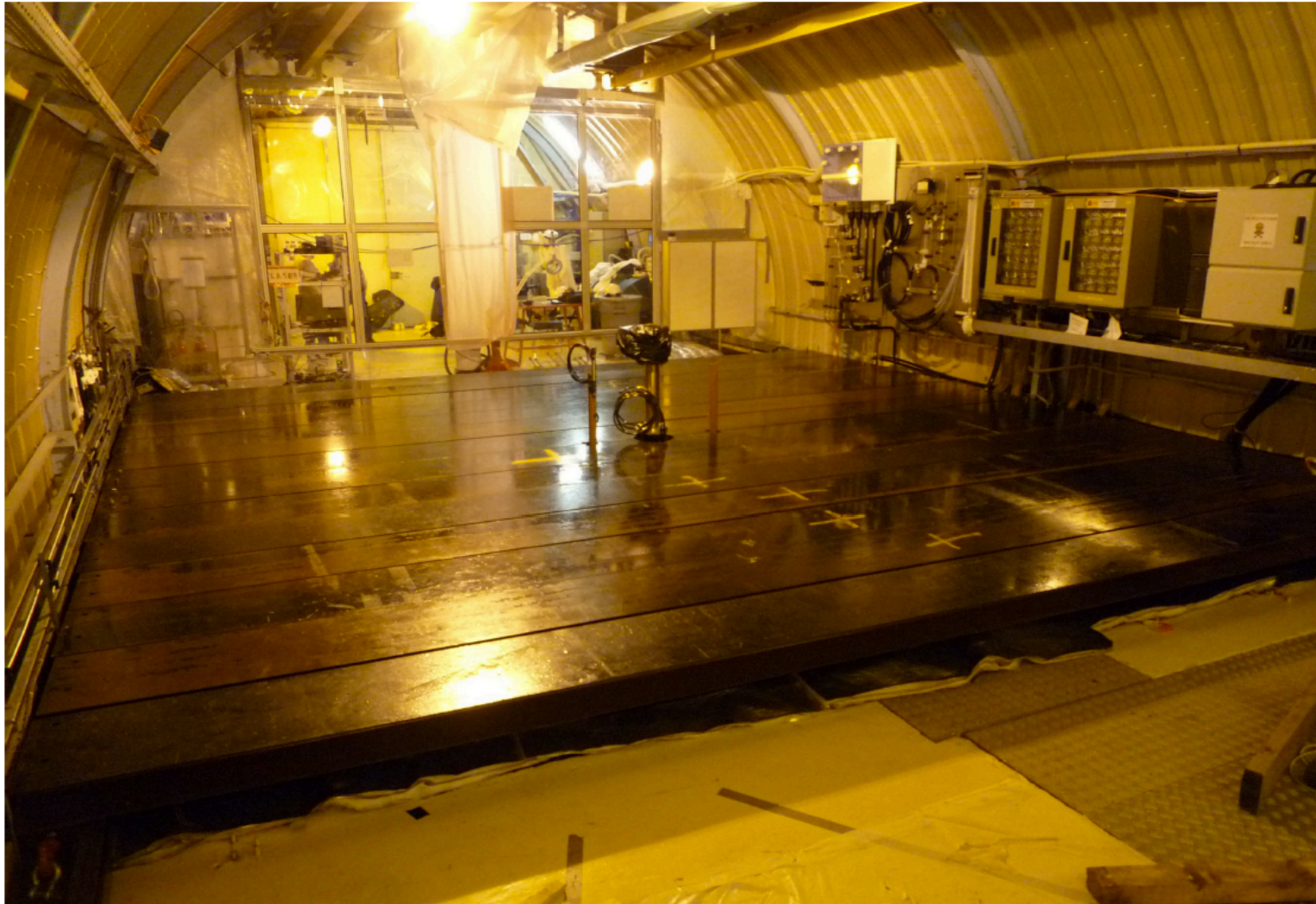
ν -target
LS line

γ -catcher
LS Line
@Kyoto

Buffer
Oil Line

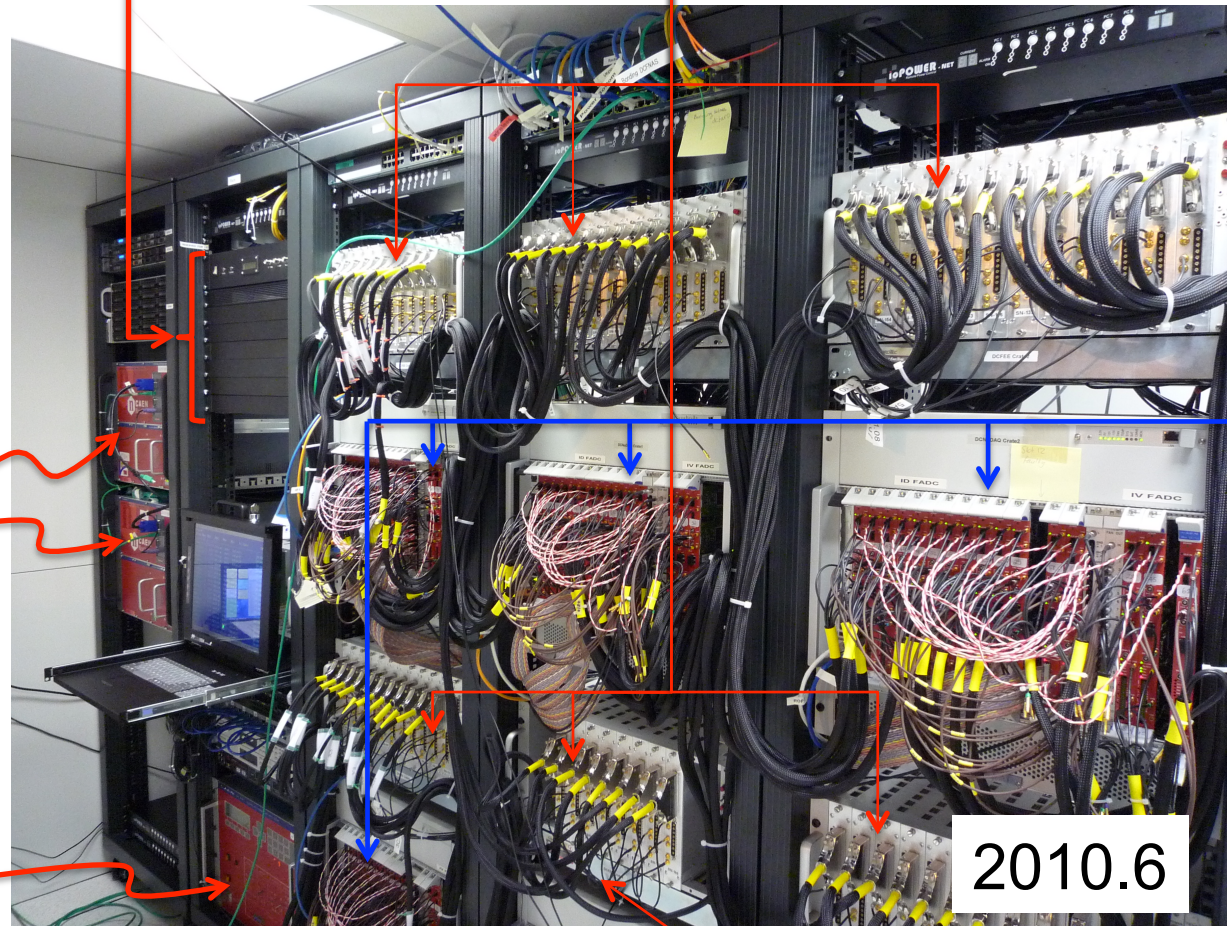
Veto
LS Line

Far Detector – Filled and Shielded



ID Light Injection System
(Controller + 6 x LED box)

Frontend Electronics



ID & IV
vFADC

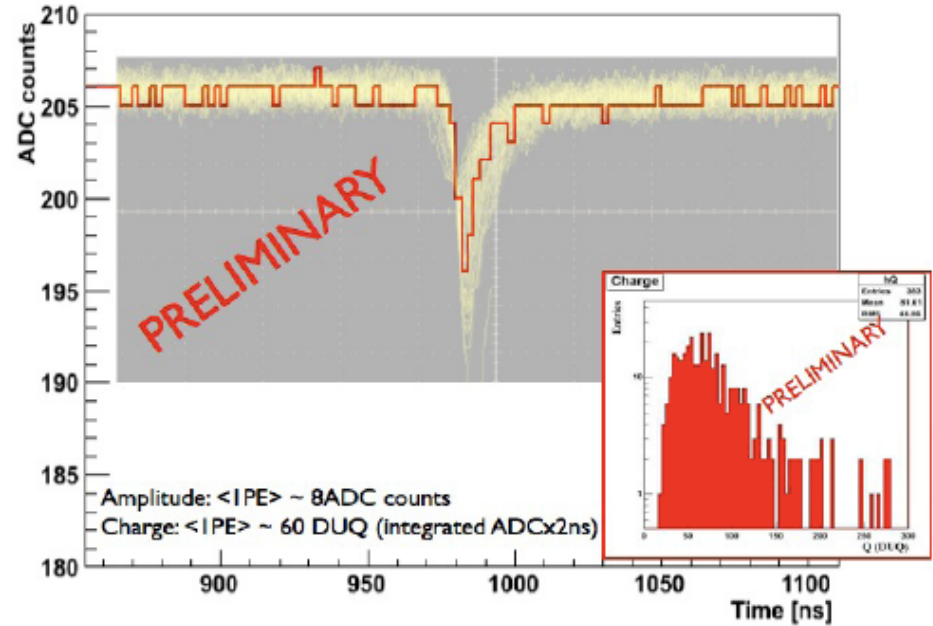
ID & IV
HV
System

OV HV
System

2010.6

@Kyoto

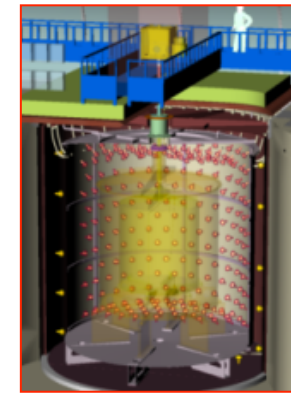
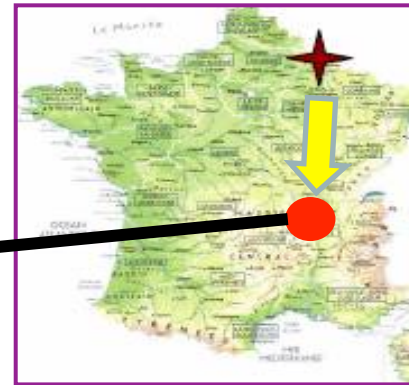
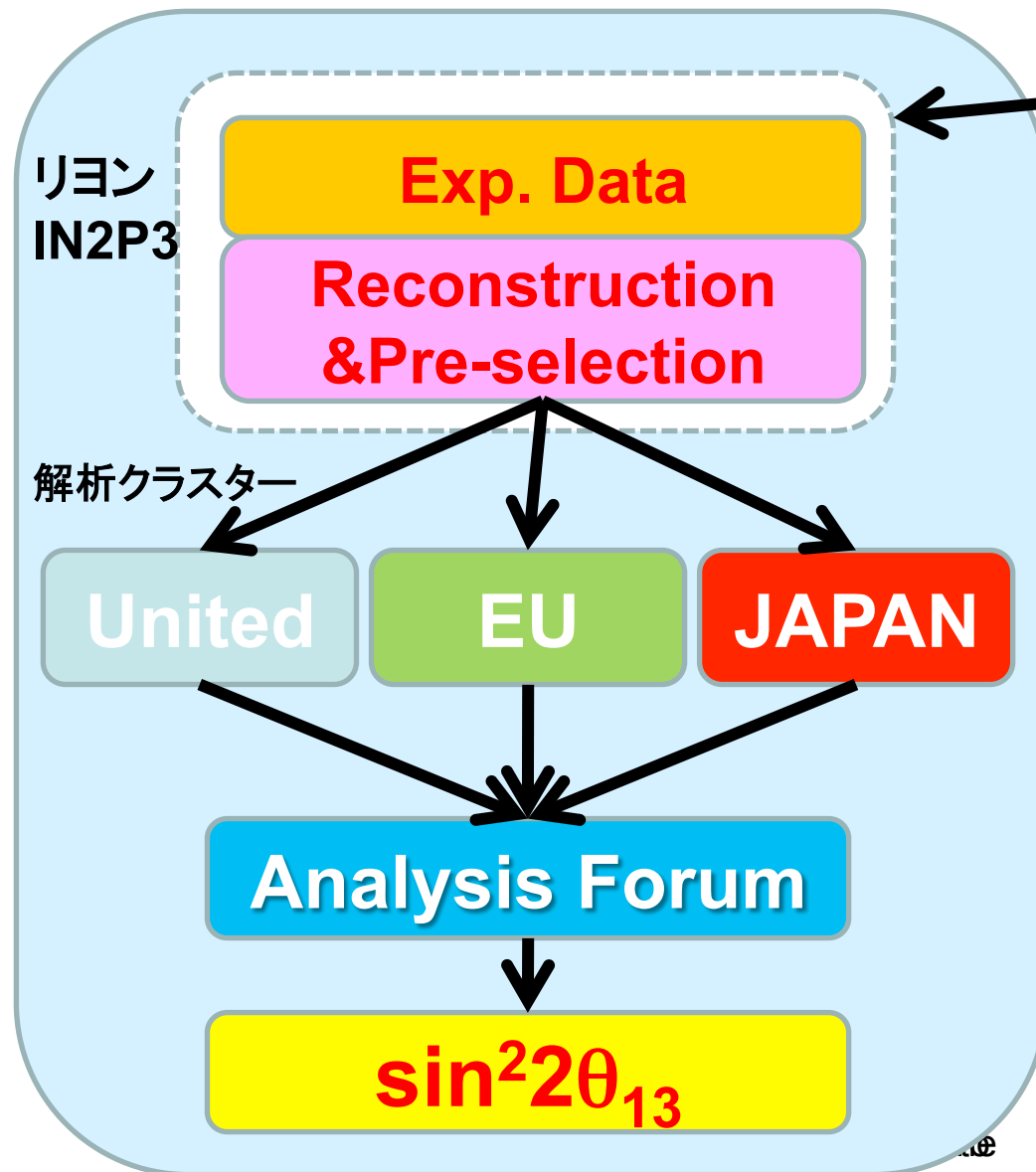
Trigger



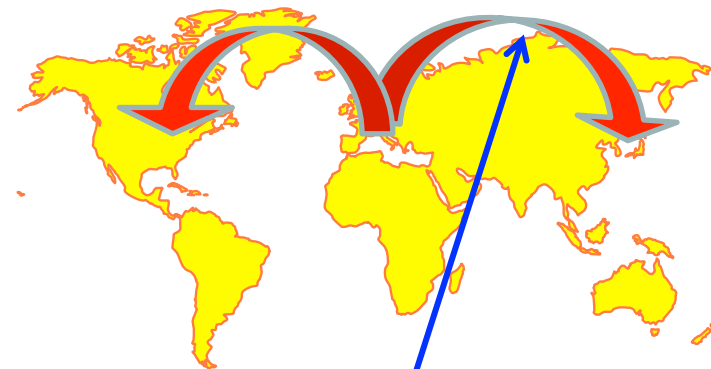
Checking the electric noise & signal using light injection system
(2010.5~8)

All inner PMTs are alive after the harsh detector construction work!!

データ転送/解析体制



実験データは、IN2P3へ送られた後、日(欧)米へネットワーク転送される。



この部分アトラスにおんぶ

23/12/2010: Official start of Double Chooz

Press release 23/12/2010

Double Chooz detector filled and measuring reactor neutrino oscillations

The Double Chooz collaboration recently completed its neutrino detector which will see anti-neutrinos coming from the Chooz nuclear power plant in the French Ardennes. The experiment is now ready to take data in order to measure fundamental neutrino properties with important consequences for particle and astro-particle physics.

ダブルショー原... | 受賞・成果等 | 東北大学 - TOHOKU UNIVERSITY -



2011年 | 受賞・成果等

2011年1月6日 15:23 | [受賞・成果等, 研究成果](#)

ダブルショー原子炉ニュートリノ振動実験開始

本学ニュートリノ科学研究センターが参加しているダブルショー原子炉ニュートリノ振動国際共同実験[＊]では、ニュートリノ主検出器の建設が完成し、ニュートリノデータ収集を開始することになり、2010年12月23日にフランスでプレスリリースされました。この研究により素粒子の重要な性質の一つが明らかになるとともに将来のニュートリノ研究がさらに進展することになります。

([＊]ダブルショー実験は、フランスのショー原子力発電所で新しいニュートリノ振動を検出し、 θ_{13} (シー-いちさん) と呼ばれる最後のニュートリノ混合角を測定する実験です。)

[詳細](#)



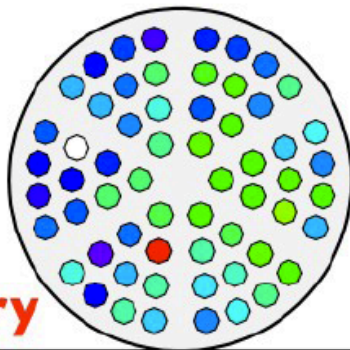
@Kyoto

ダブルショー実験装置。今回は右側のニュートリノ検出器により実験が開始される。

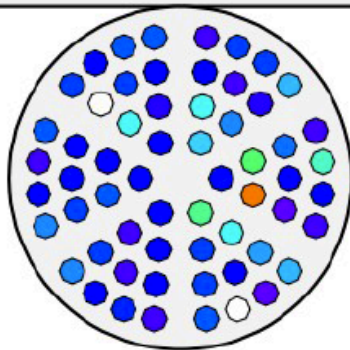
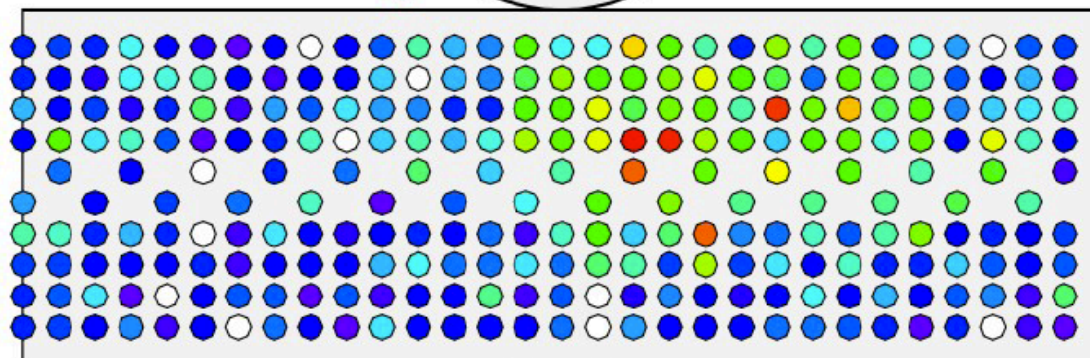
東北大ニュース

Real data hits

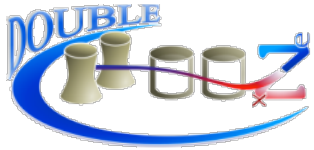
Detector



DC Preliminary



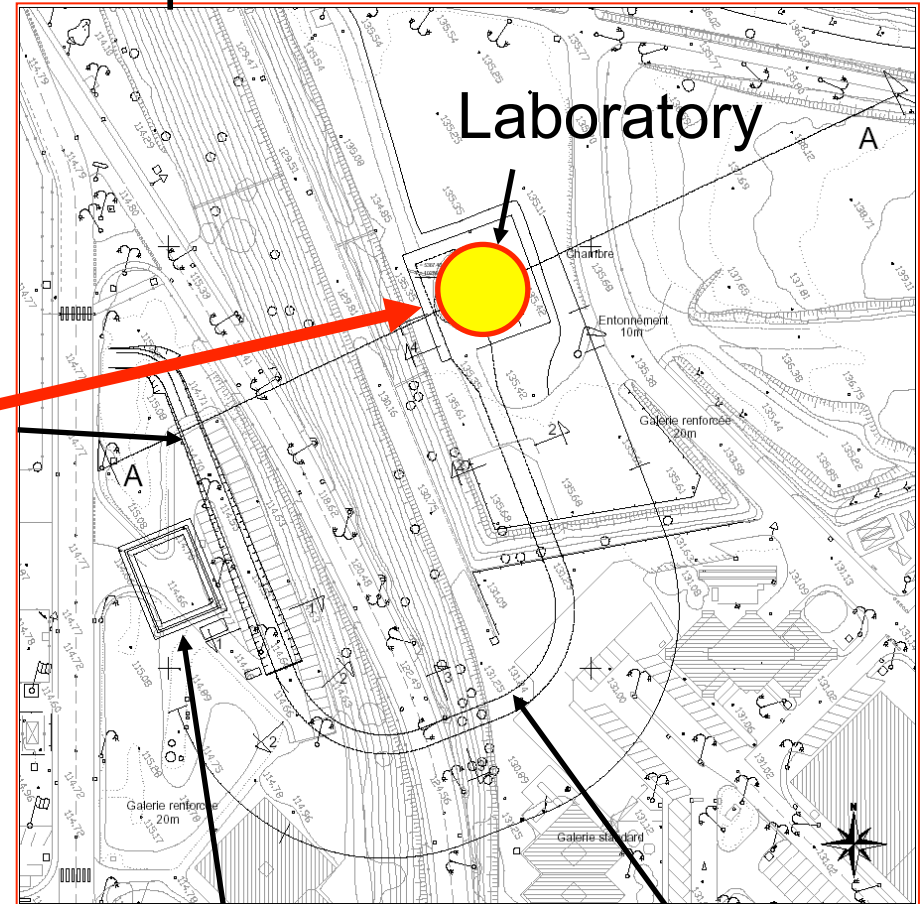
現在
run parameter
を調整中.



Status of the Near site

Far検出器のスケジュールとはindependent

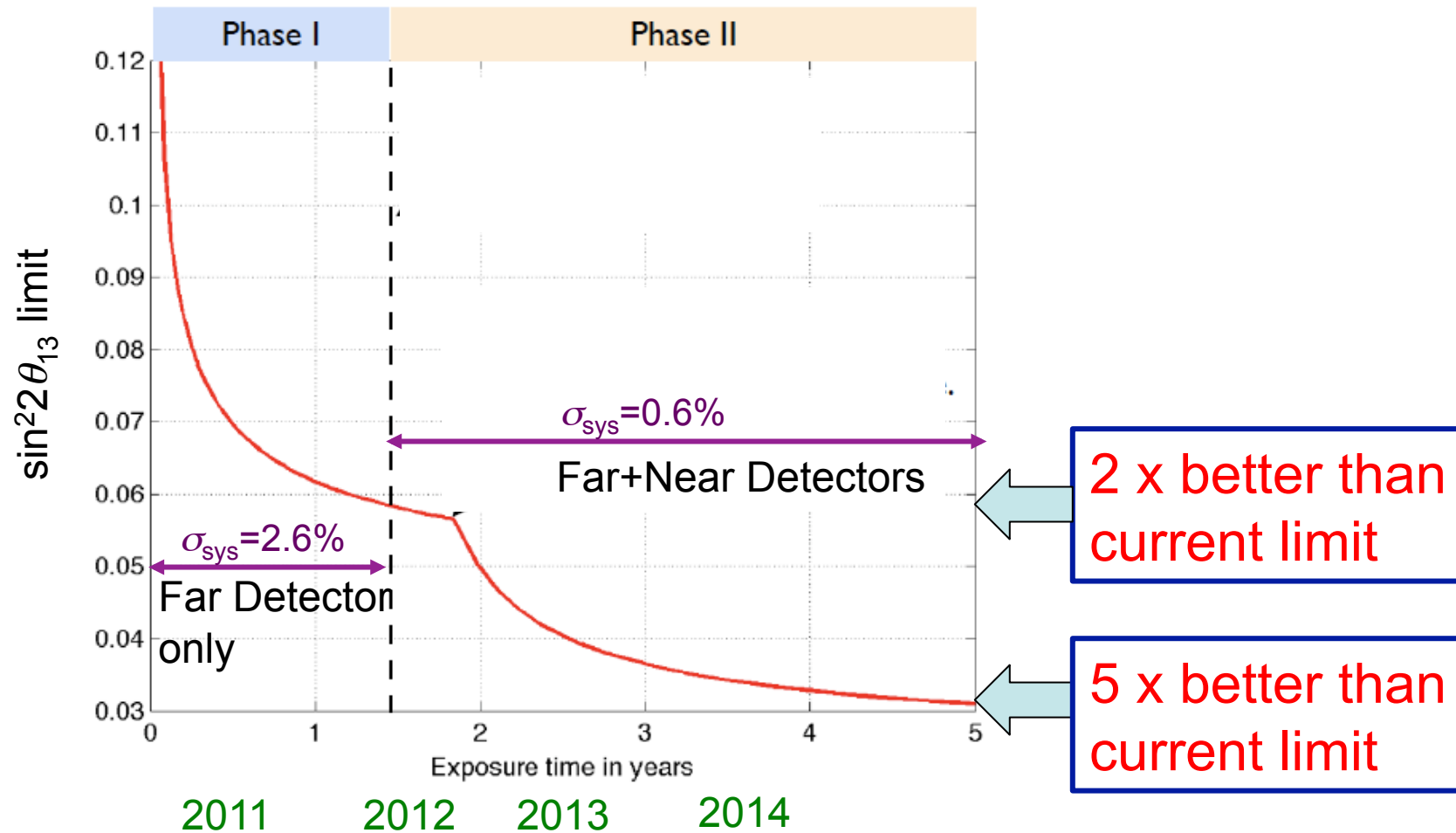
- Site engineering study completed
⇒ Start excavation 2011
Site will be ready 2012
- Neutrino fluxes: 2.5×10^5 events in 3 years
- Depth: 120 m.w.e. (μ flux: $\sim 3-4 \mu/m^2s^{-1}$)



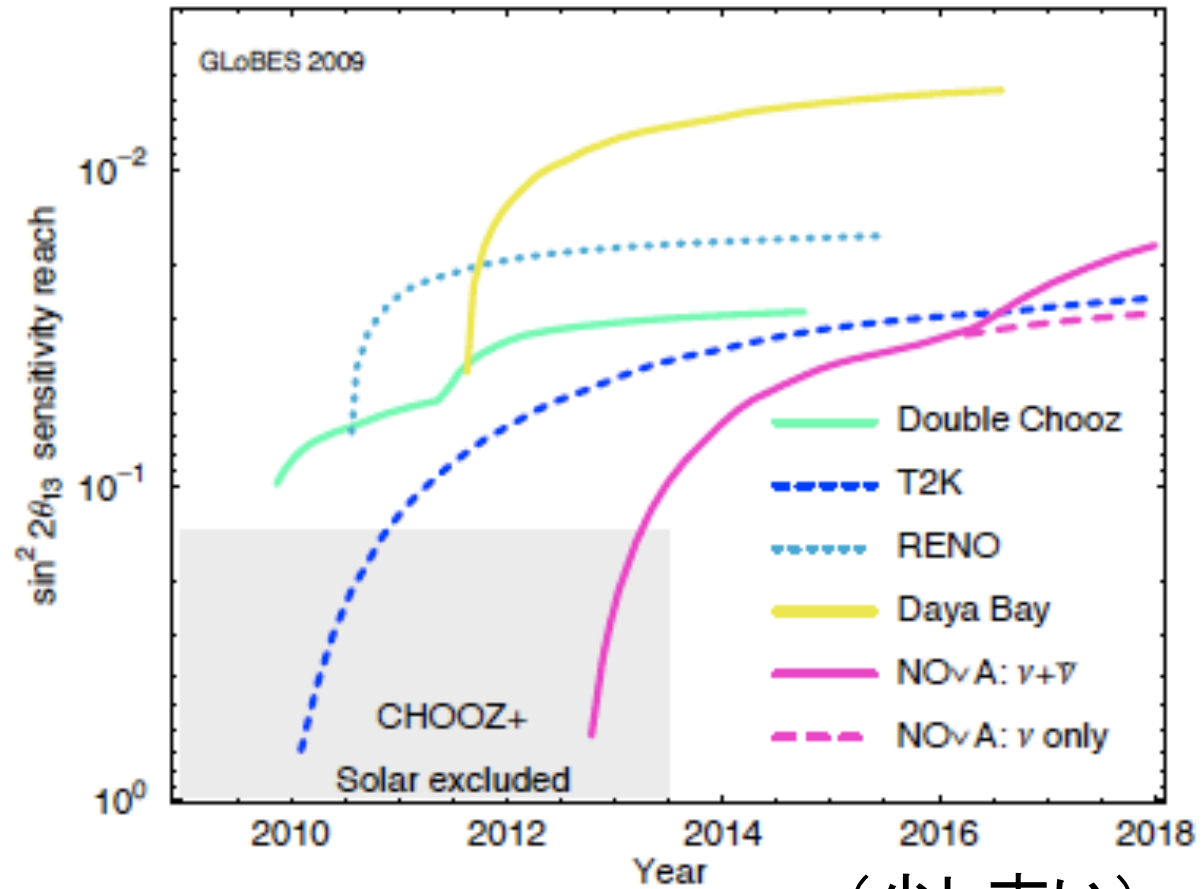
Liquid storage

Tunnel (155 m),
12% slope

θ_{13} Sensitivity in Time



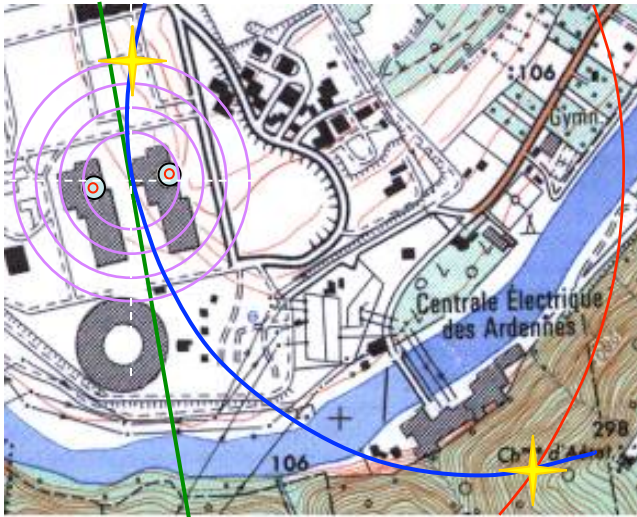
$\sin^2 2\theta_{13}$ sensitivity limit (NH, 90% CL)



(少し古い)

ライバル

Double Chooz



$P=8.2\text{GWth}/2$
 $L=1.05\text{km}$
 (2010)

110310

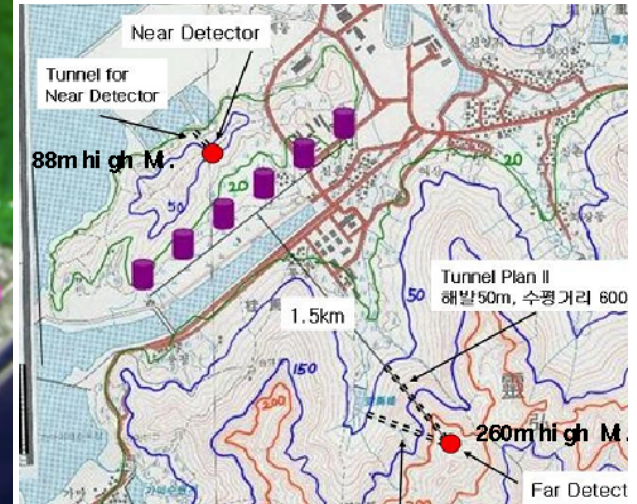
Daya Bay



$P=11.6\text{GWth}/4$
 $17.4\text{GWth}/6(2011\sim)$
 $L\sim 1.8\text{km}$
 (2012?)

@Kyoto

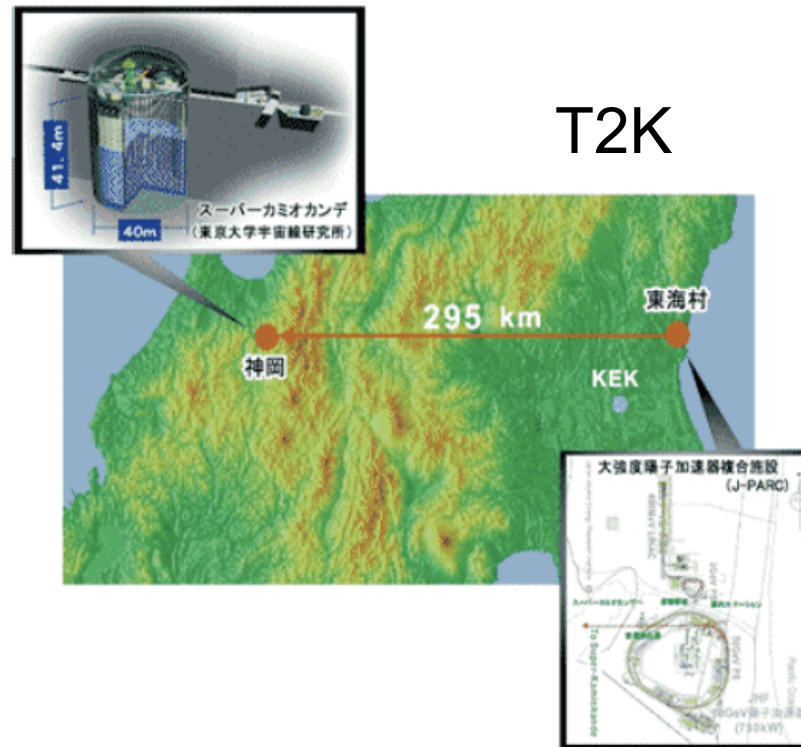
RENO



$P=16.1\text{GWth}/6$
 $L\sim 1.4\text{km}$
 (2011?)

47

T2K(東海to神岡)実験との関係



東海村のJParc加速器で ν_μ を作り、300km離れたSuperKamiokandeまで飛ばし、その間に $\nu_\mu \rightarrow \nu_e$ の振動を測定する。

$$P(\nu_\mu \rightarrow \nu_e) \sim \frac{1}{2} \sin^2 2\theta_{13} \quad \text{で}\theta_{13}\text{を測定}$$

T2Kの測定

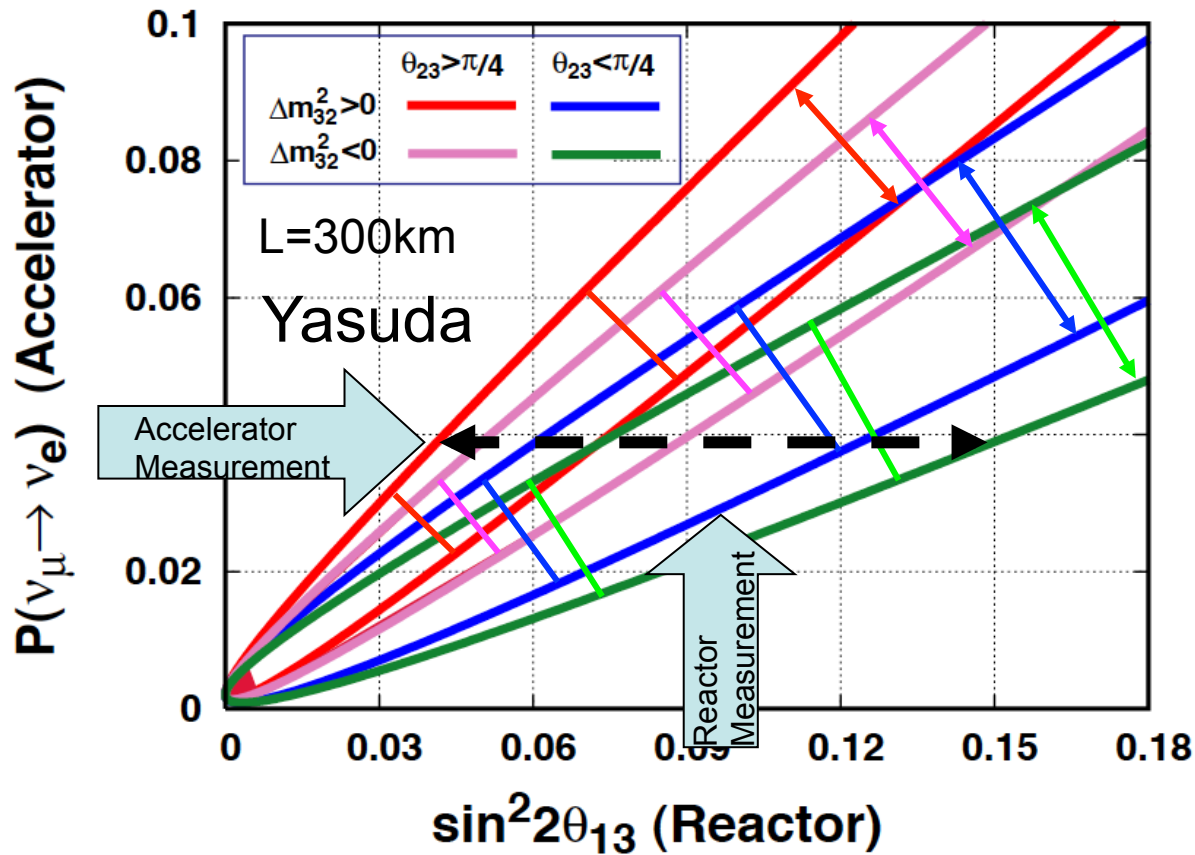
θ_{23} degeneracy

$$P_{AC}(\nu_{\mu} \rightarrow \nu_e) = \frac{0.50 \pm 0.11}{(1 \mp 0.00017L[km])^2} \sin^2 2\theta_{13} \pm 0.045 \sin 2\theta_{13} \sin \delta$$

Matter effect

δ dependence

$\sin^2 2\theta_{23} = 0.95$



Issues for ν oscillation & solving methods

4 still unknowns

- (1) $\sin^2 2\theta_{13}$
- (2) Mass Hierarchy ($m_3 > m_1$ or $m_1 > m_3$?)
- (3) θ_{23} degeneracy ($\theta_{23} > \pi/2$ or $\theta_{23} < \pi/2$?)
- (4) CP violating δ

Available information

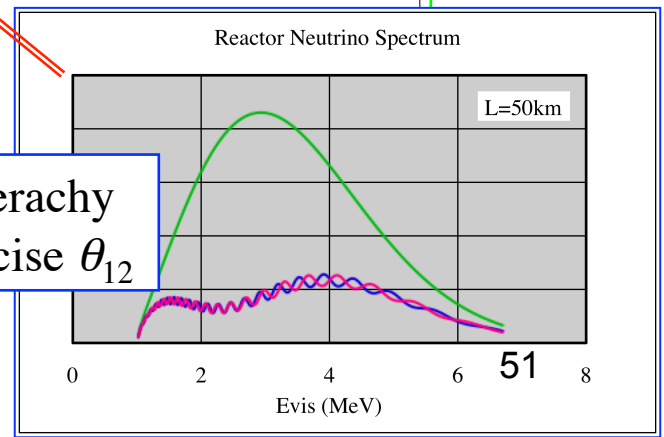
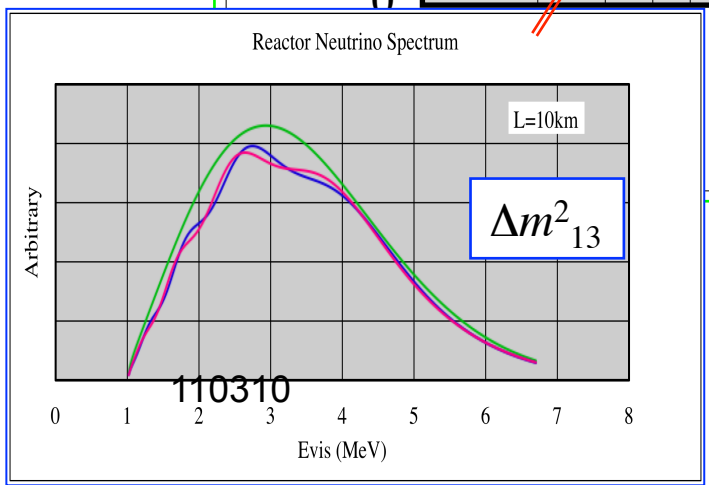
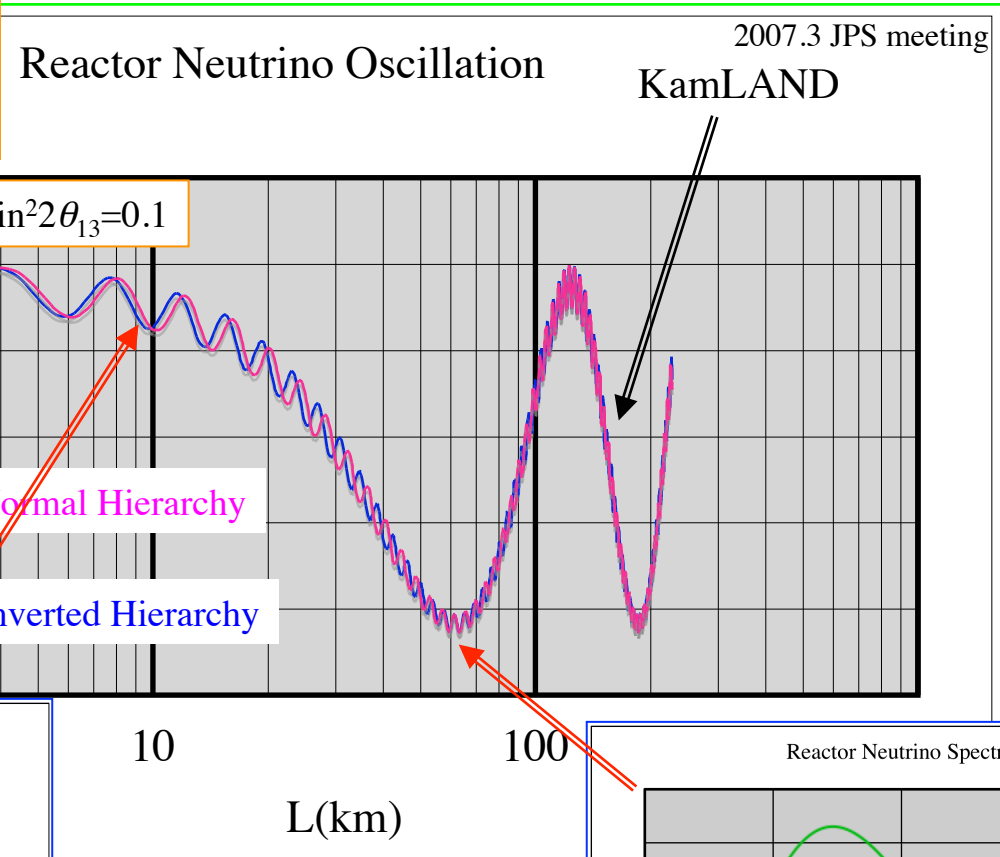
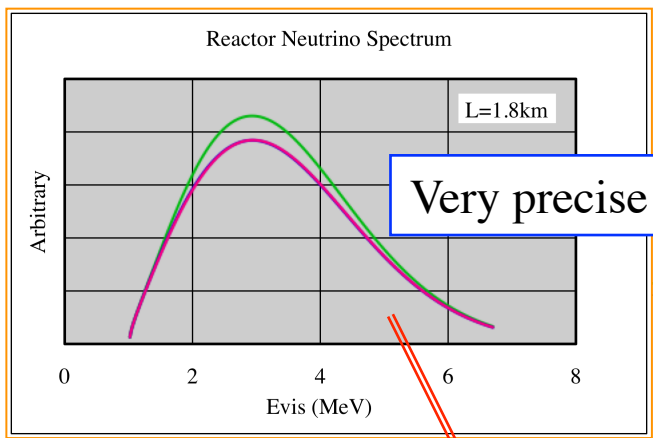
- (1) $\nu_\mu \Rightarrow \nu_e$ (accelerator)
- (2) $\bar{\nu}_\mu \Rightarrow \bar{\nu}_e$ (accelerator)
- (3) Matter effect (accelerator)
- (4) $\nu_\mu \Rightarrow \nu_\mu$ (accelerator)
- (5) $\bar{\nu}_e \Rightarrow \bar{\nu}_e$ (reactor)
- (6) Solar, Atmospheric

Construction(\$\$\$)
+ ν production=\$\$

Construction(\$~\$\$)
 ν production = free

Reactor ν experiments are **cost-effective** way to obtain important information.

Potentials of Reactor ν experiments



@Kyoto

Possible Spin-off of reactor neutrino detection technique

Neutrinos can not be hidden.

Very sensitive reactor neutrino detection technique.

- Detect hidden reactor operation to breed plutonium.
- IAEA is interested in and forms workshops.



Neutrinos may be useful
for safeguards of the world.



Summary

- * 23/12/2010 DC started.
 $\delta\sin^2 2\theta_{13} \sim 0.06$ in 2011
- * Near detector will start from 2012
 $\delta\sin^2 2\theta_{13} \sim 0.035$ in 2013
- * There are more physics potentials for reactor neutrino physics in the future.

If you want fundamental parameters to be measured, please support experimentalists and experiments.



110310

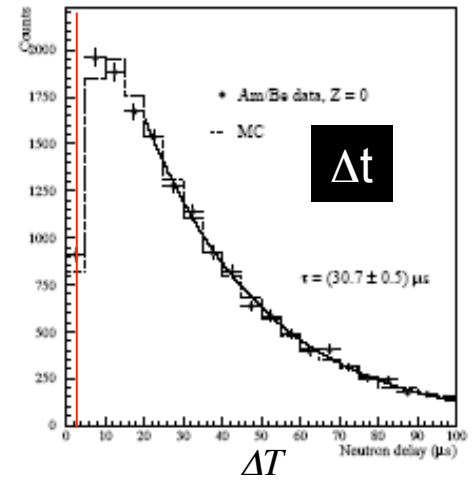
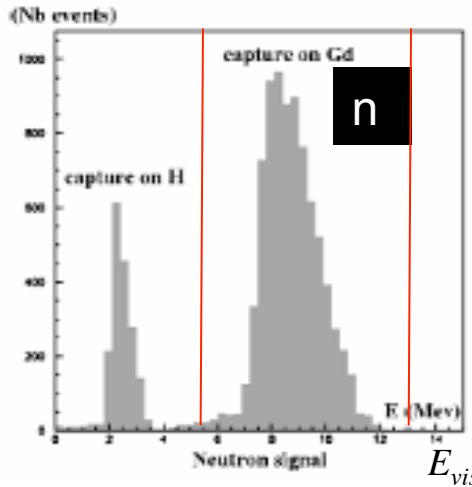
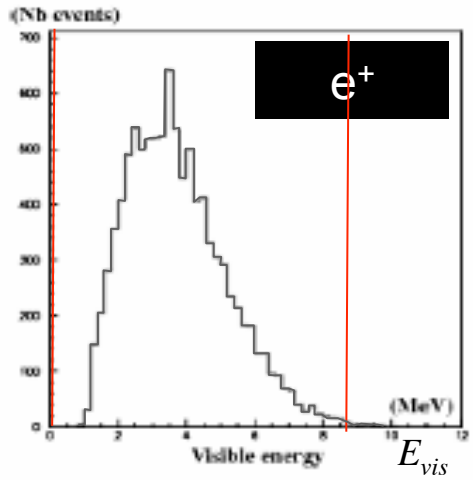
@Kyoto

54

Back up slides

Improvement from CHOOZ

- * Near/Far systematic cancellations
- * Efficiency is insensitive to the energy scale error
- No fiducial volume cuts
- Reduced Backgrounds
- Reactor OFF data in Chooz experiment

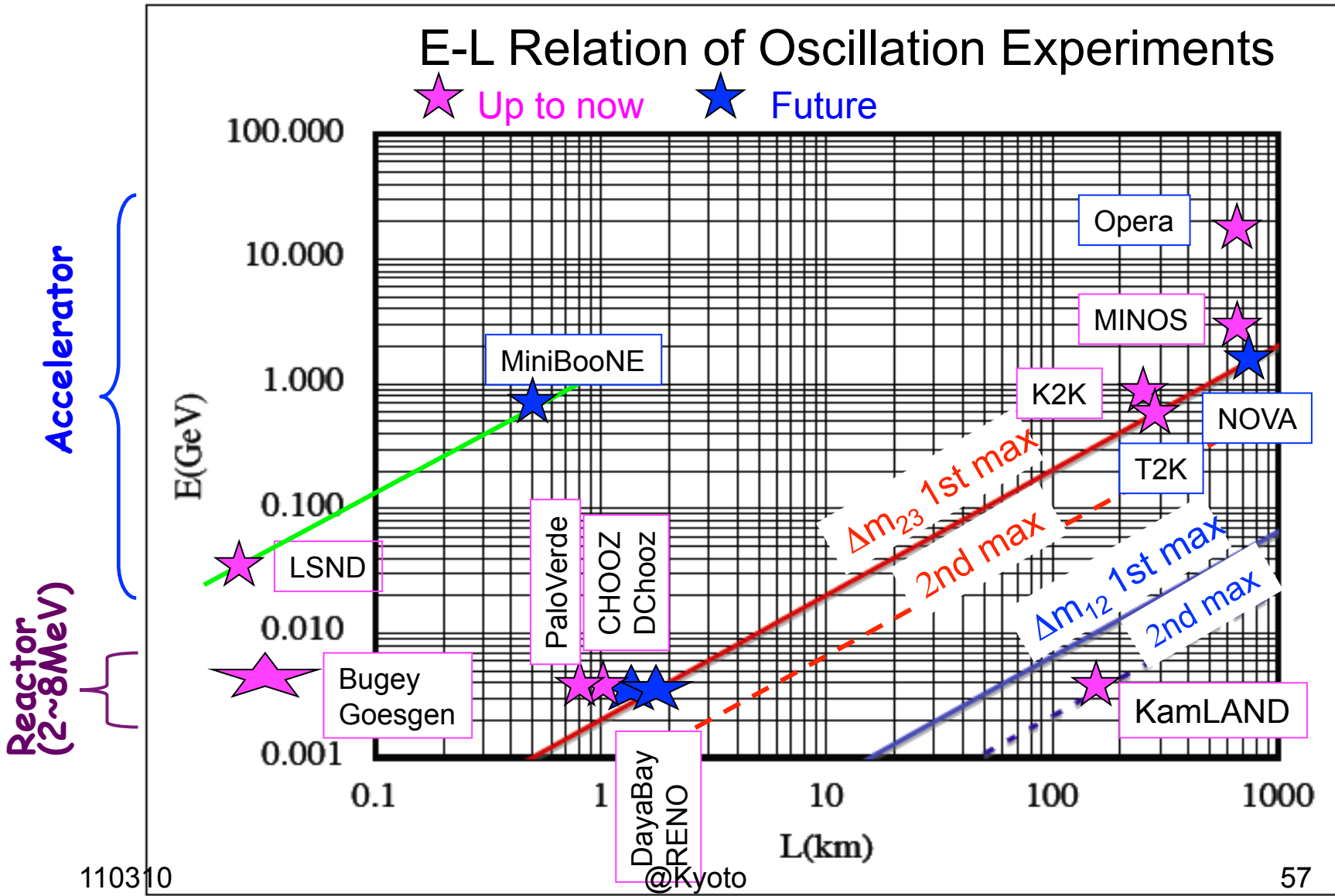


	CHOOZ	Double CHOOZ
Statistical Error:	2.7%	0.5%
Systematic Error	2.7%	<0.6%
Total error	3.8%	<0.8%
$\delta \sin^2 2\theta_{13} (90\% \text{CL})$	0.13	<0.03

110310

@Kyoto

Accessible Oscillations by Reactor ν



Complementarity to accelerator θ_{13} measurement

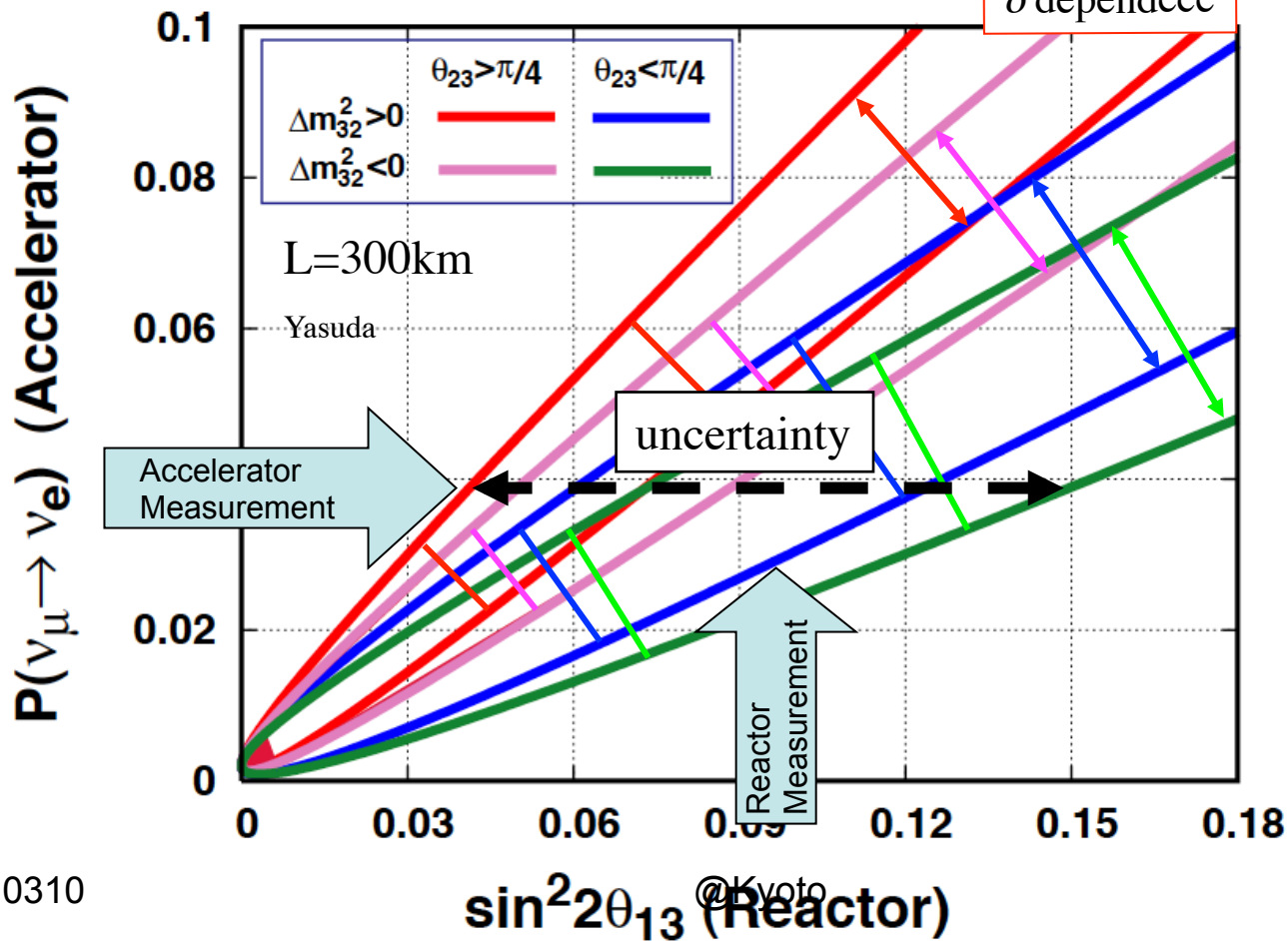
θ_{23} degeneracy ↘

$$P_{AC}(\nu_\mu \rightarrow \nu_e) = \frac{0.50 \pm 0.11}{(1 \mp 0.00017L[km])^2} \sin^2 2\theta_{13} \pm 0.045 \sin 2\theta_{13} \sin \delta$$

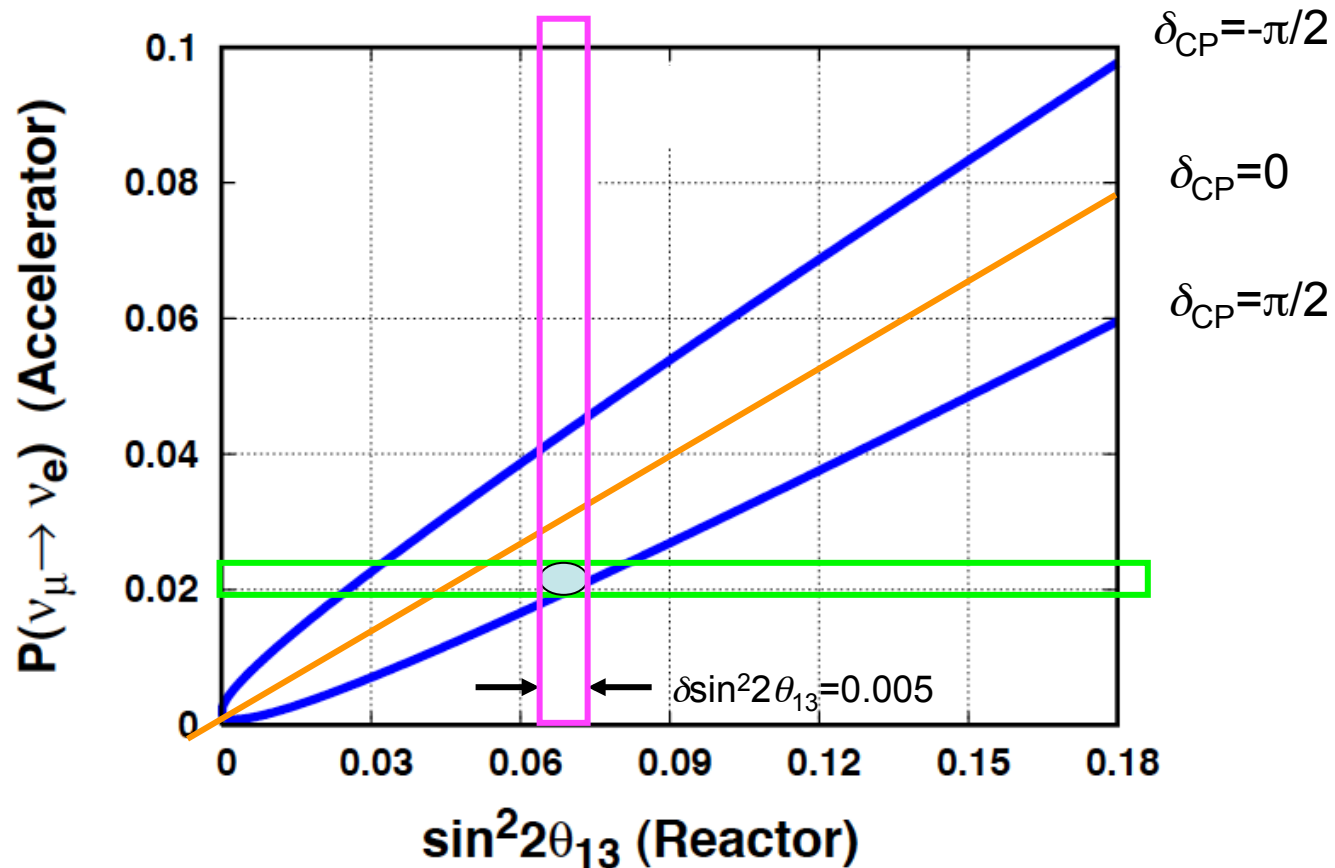
Matter effect ↗

$\sin^2 2\theta_{23} = 0.95$

δ dependence



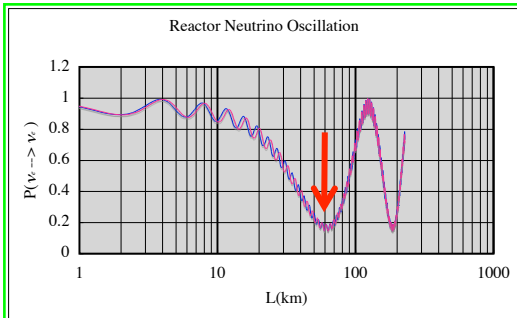
Quick Access to δ_{CP} by reactor & accelerator combination



If θ_{23} degeneracy and Mass Hierarchy are solved, only δ remains to be solved.

Combination of high precision Reactor θ_{13} and Accelerator ν_e appearance may determine non-0 δ before anti-neutrino mode operation.

Physics @ 1st Δm^2_{12} Maximum (L~50km)



$$P_R(\bar{\nu}_e \rightarrow \bar{\nu}_e) = 1 - \left\{ \begin{aligned} &\cos^4 \theta_{13} \sin^2 2\theta_{12} \sin^2 \Delta_{21} \\ &+ \sin^2 2\theta_{13} \cos^2 \theta_{12} (\sin^2 \Delta_{31} + \tan^2 \theta_{12} \sin^2 \Delta_{32}) \end{aligned} \right\}$$

